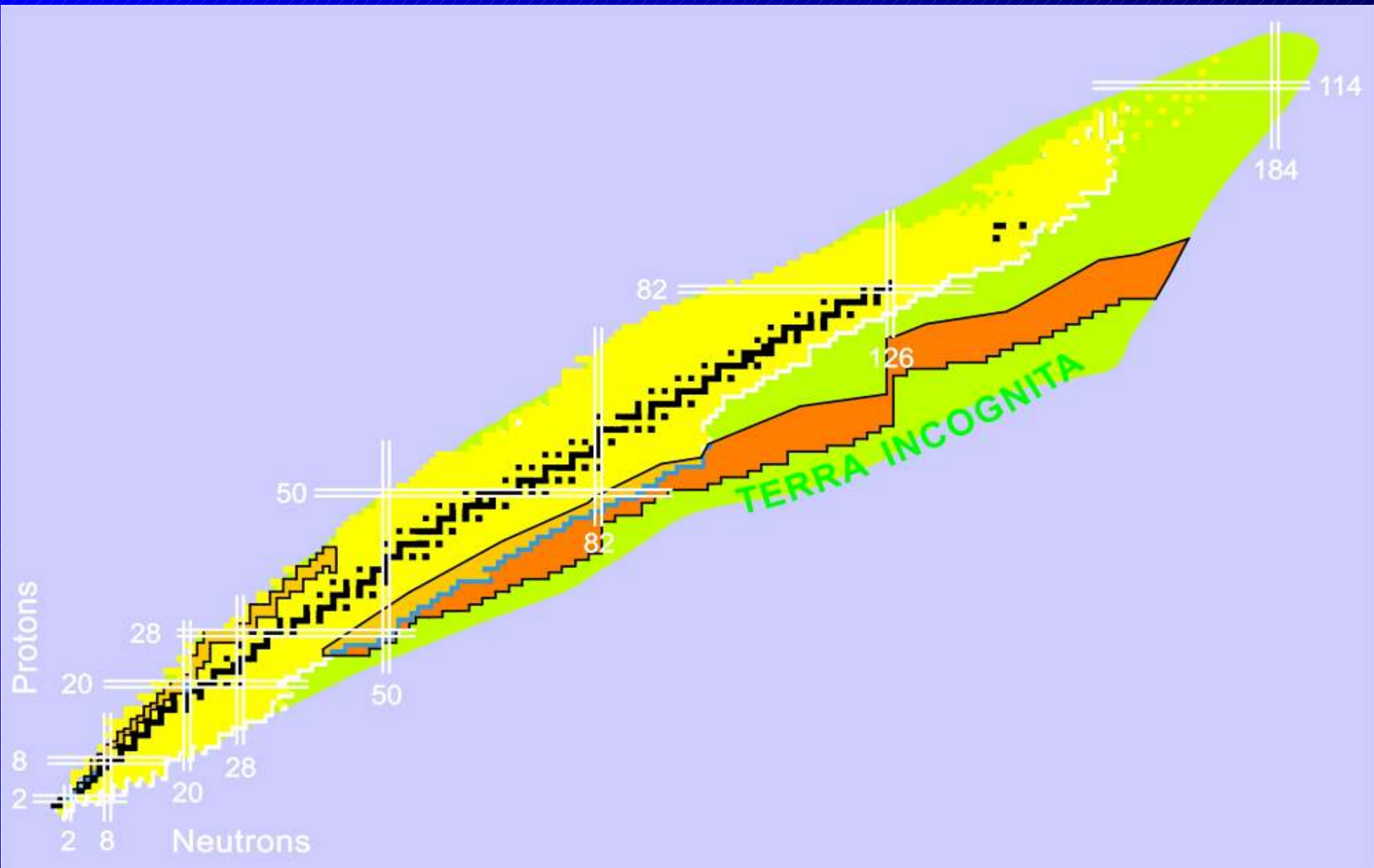


# **Spektroskopia jądrowa w głęboko-nieelastycznych zderzeniach ciężkich jonów**

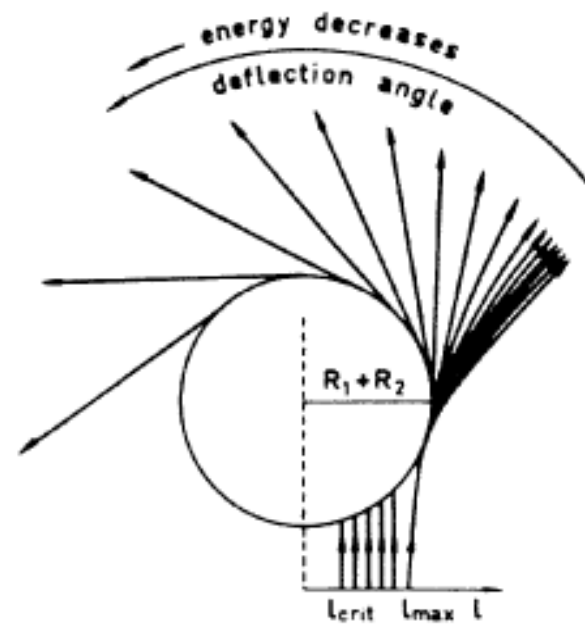
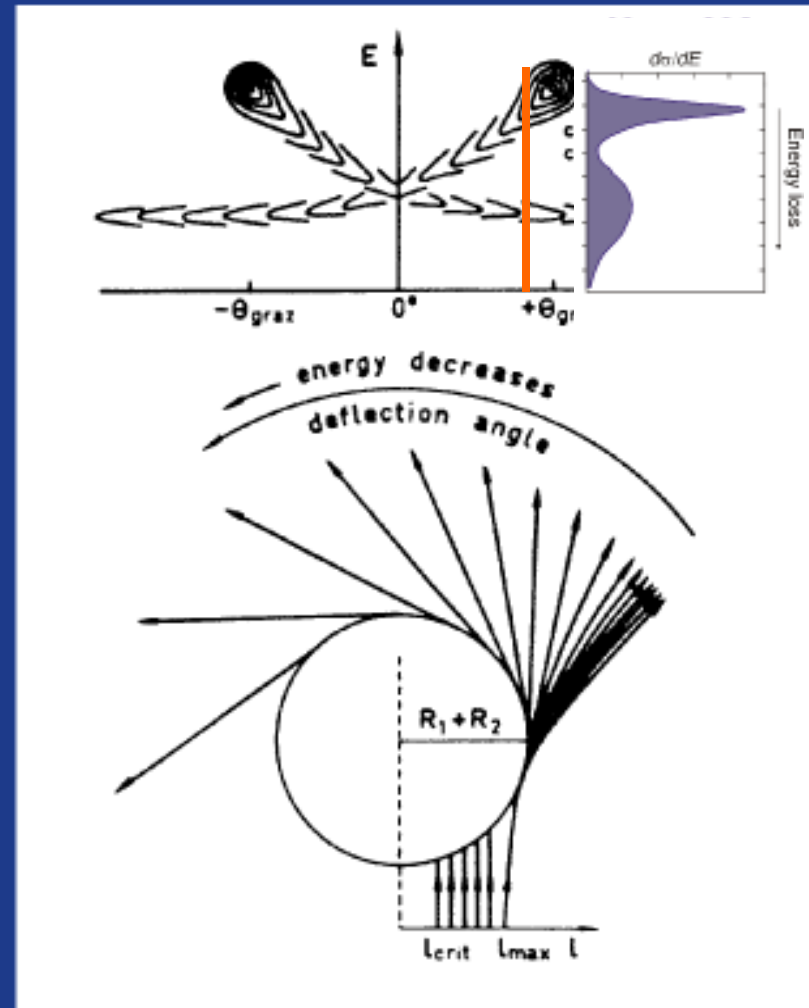
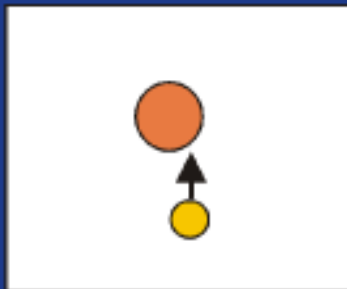
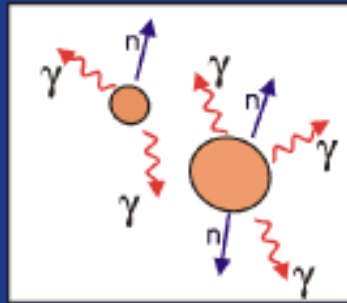
**Rafał Broda**

**Instytut Fizyki Jądrowej im. H.Niewodniczańskiego  
Polska Akademia Nauk  
Kraków**

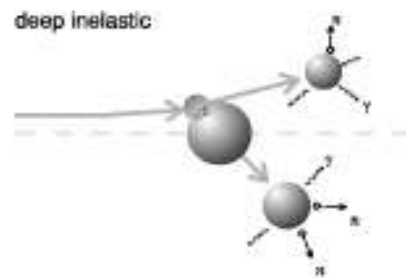
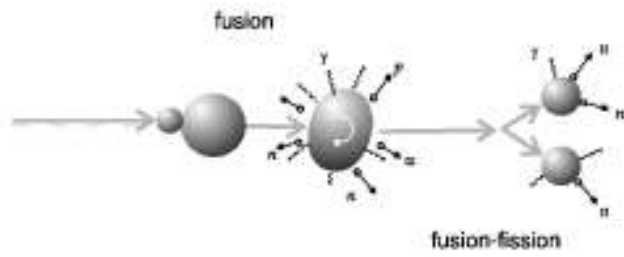
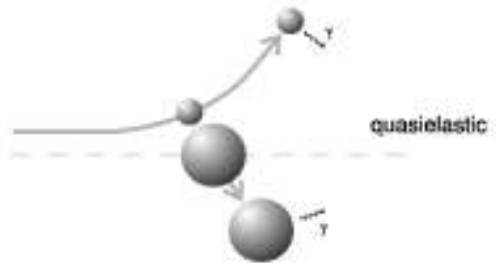


# Deep inelastic reactions

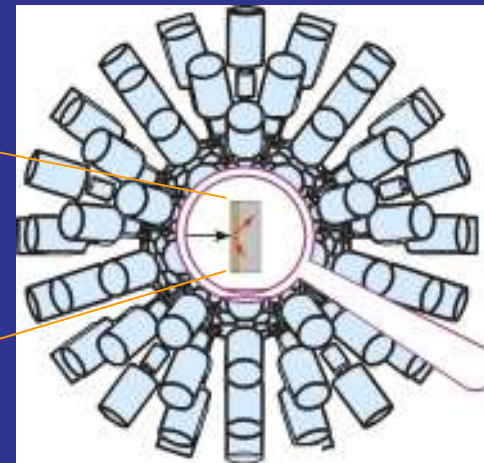
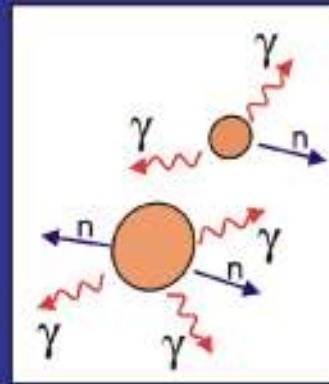
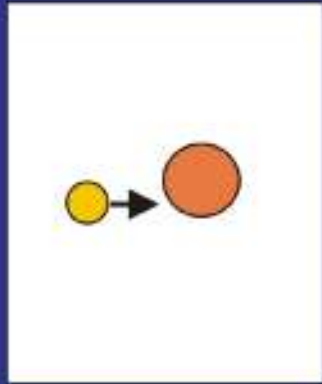
## Wilczynski plot



*J. Wilczynski, Phys. Lett. B 47, 484 (1973).*



# Deep inelastic reactions - a tool for nuclear spectroscopy



# Eksperymenty z grubą tarczą

- Produkty zatrzymane w tarczy, dyskretne linie gamma, za wyjątkiem krótkożyciowych stanów wzbudzonych
- Koincydencje  $\gamma$  -  $\gamma$  zebrane z dużymi statystykami i krotnościami
- Selektowność oparta na wielostronnej analizie koincydencji gamma - w wyniku- struktury stanów jądrowych w nowych jądrach –
- Identyfikacja przez koincydencje krzyżowe



GAMMASPHERE

✓ R. Broda et al.,  
JPG 32, 151 (2006)

**B.Fornal, W.Królas, T.Pawłat, J.Wrzesiński, R.B.**

Purdue University, W.Lafayette, IN, USA

**Argonne National Laboratory, Argonne, Ill, USA**

Hahn-Meitner Institut, Berlin, Germany

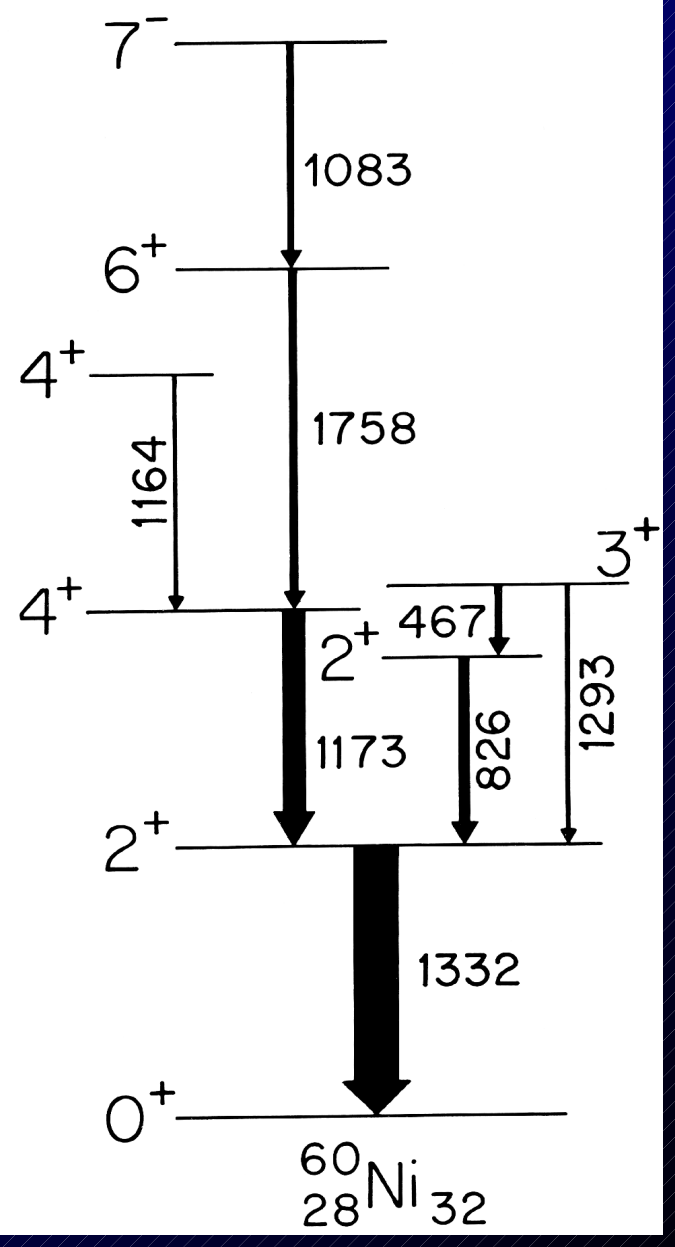
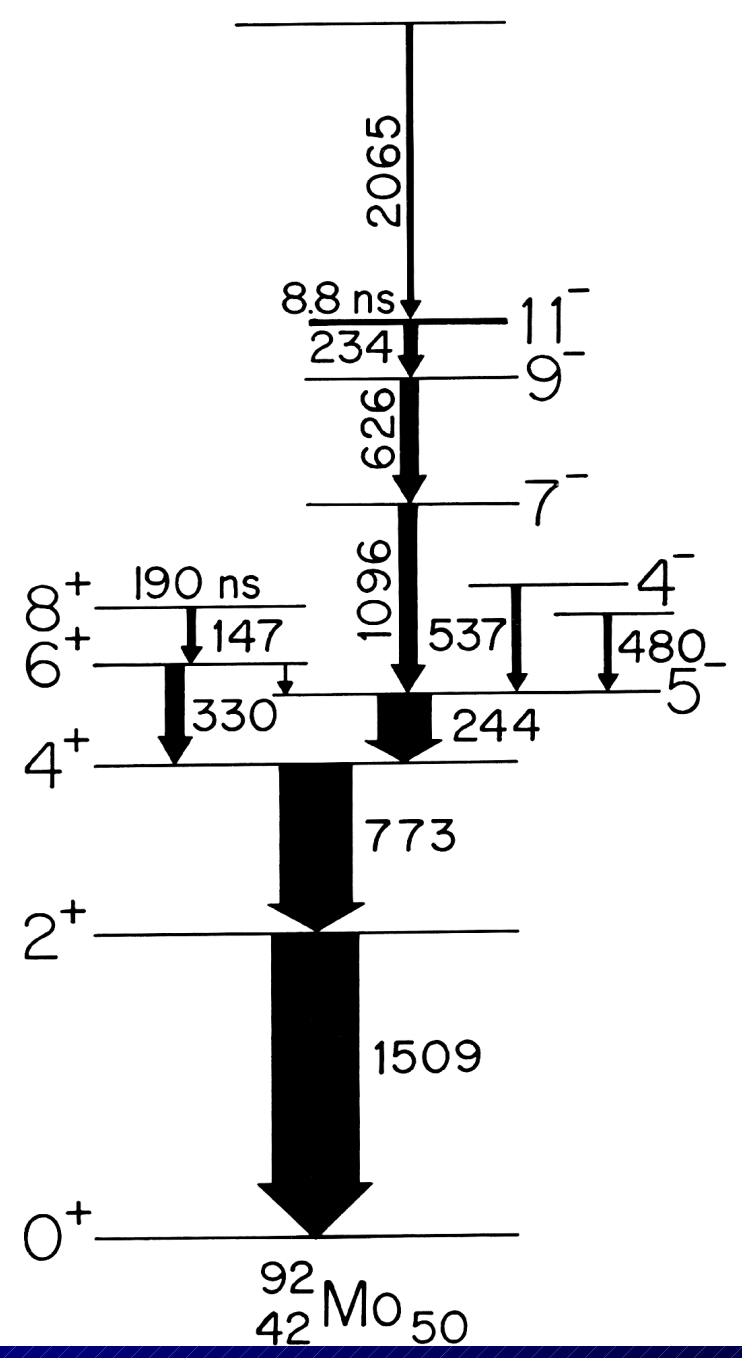
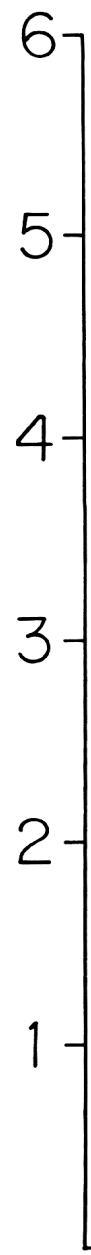
**INFN LNL Legnaro/Padova University, Włochy**

Gesellschaft fuer Schwere Ionen, Darmstadt, Germany

JYFL-University of Jyvaskyla, Finland

LBL Berkeley, Cf, USA

MeV

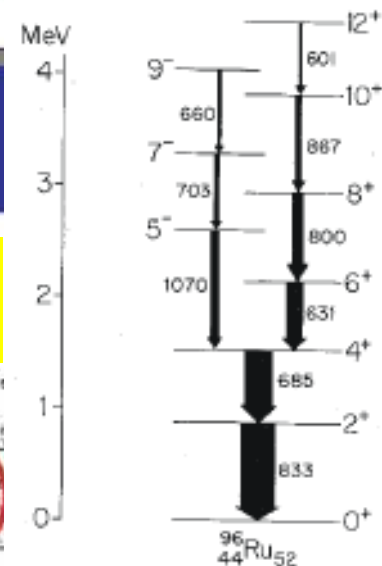




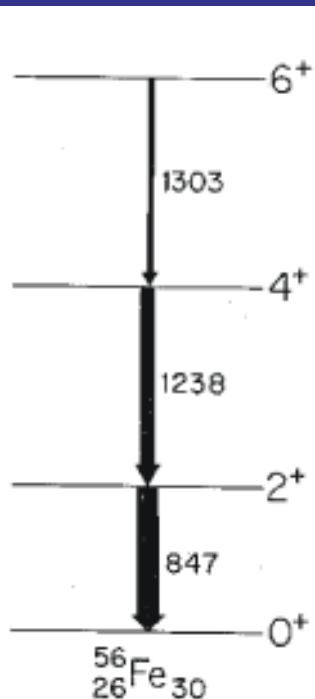
# Deep inelastic reactions



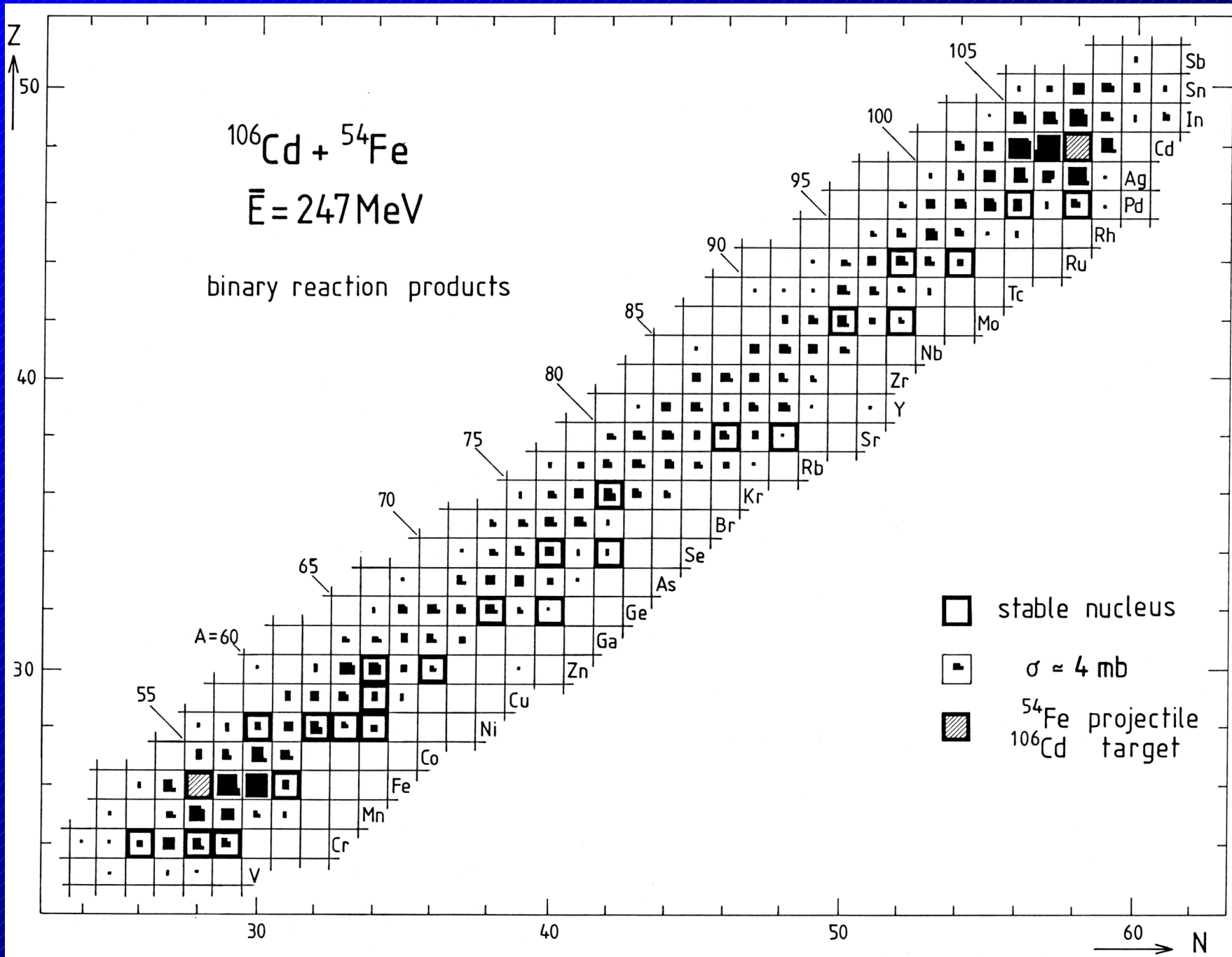
(Argonne-Notre Dame Array)



Ru 90 101.07 t = 2.50		Ru 92 99.86 t = 3.66 m	Ru 93 99.1 t = 16.4 s	<b><math>{}^{96}\text{Ru}</math></b>
	Tc 90 99.9 t = 15.1 s	Tc 91 99.9 t = 12.24 m	Tc 92 99.9 t = 4.4 m	
Mo 88 8.2 m	Mo 89 2.15 m	Mo 90 5.7 h	Mo 91 15.5 s	<b>Mo 92 14.84 t = 0.096 s -0.045</b>
Nb 87 3.8 m	Nb 88 14.3 m	Nb 89 3.29 s	Nb 90 15.5 s	
Zr 86 16.5 h	Zr 87 1.6 s	Zr 88 83.4 d	Zr 89 78.4 s	Zr 90 91.45 s
			Zr 91 11.32 s	Zr 92 17.19 s
				Zr 93 1.5 · 10 <sup>6</sup> a



	Zn 62 9.13 h	Zn 63 38.1 m	Zn 64 48.6 s	Zn 65 244 d	Zn 66 27.9 d
	Cu 61 3.4 h	Cu 62 9.74 m	Cu 63 80.17 s	Cu 64 12.72 h	Cu 65 30.83 d
	<b>Ni 60 26.10 s</b>	Ni 61 1.12 s	Ni 62 3.59 s	Ni 63 100 s	Ni 64 0.91 s
	Co 59 100 s	Co 60 1.67 s	Co 61 1.65 h	Co 62 1.3 m	Co 63 27.5 s
	<b><math>{}^{56}\text{Fe}</math></b>	Fe 57 45.1 d	Fe 58 10 <sup>6</sup> a	Fe 59 6.0 m	Fe 60 89 s



$^{106}\text{Cd} + ^{54}\text{Fe} \quad \bar{E} = 247\text{MeV}$

binary reaction products

production yield (mb)

$10^2$

$10^1$

$10^0$

$^{54}\text{Fe}$  inelastic

$^{106}\text{Cd}$  inelastic

fusion-fission

damped collisions

damped collisions

QE

QE

50

60

70

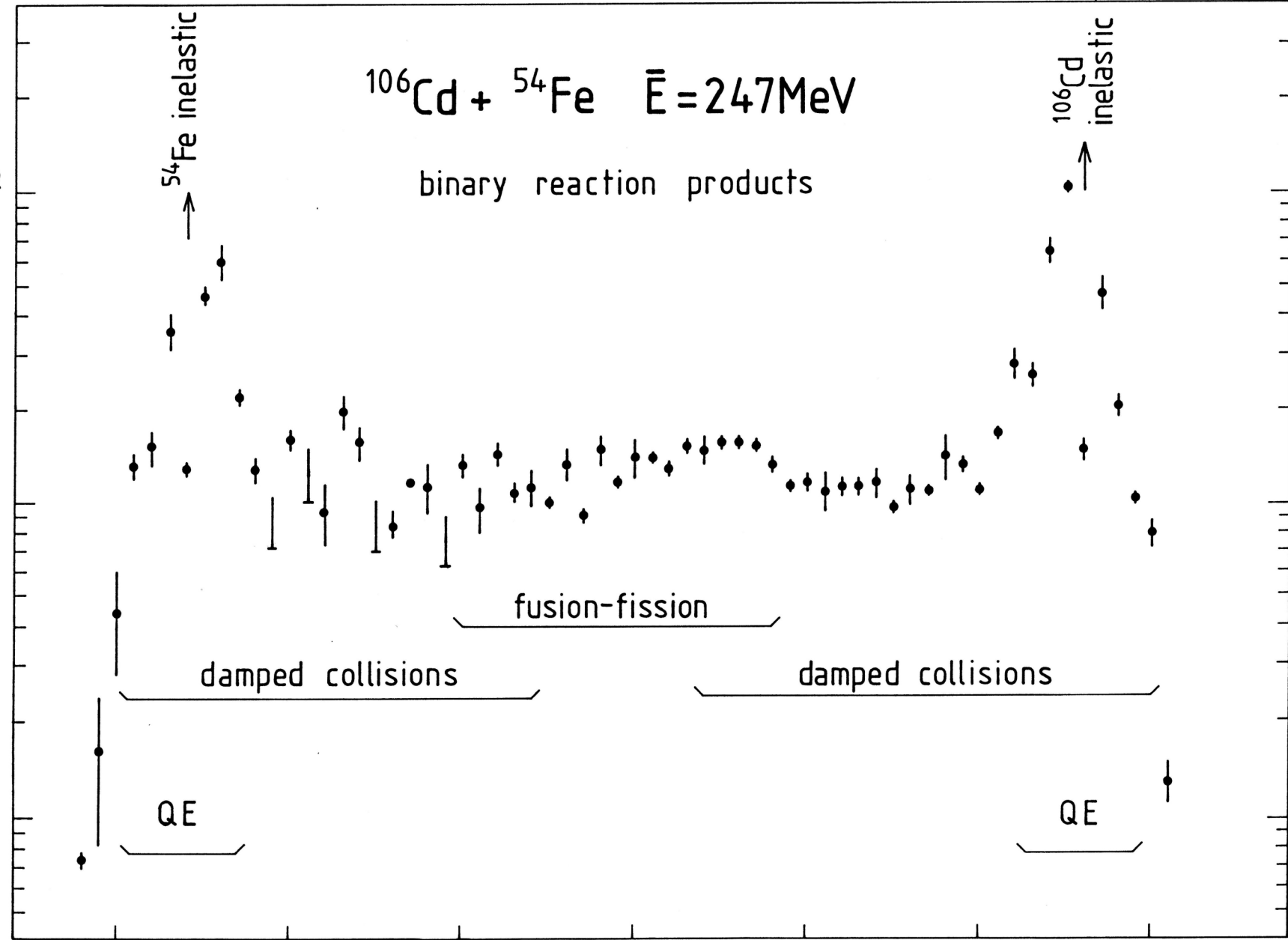
80

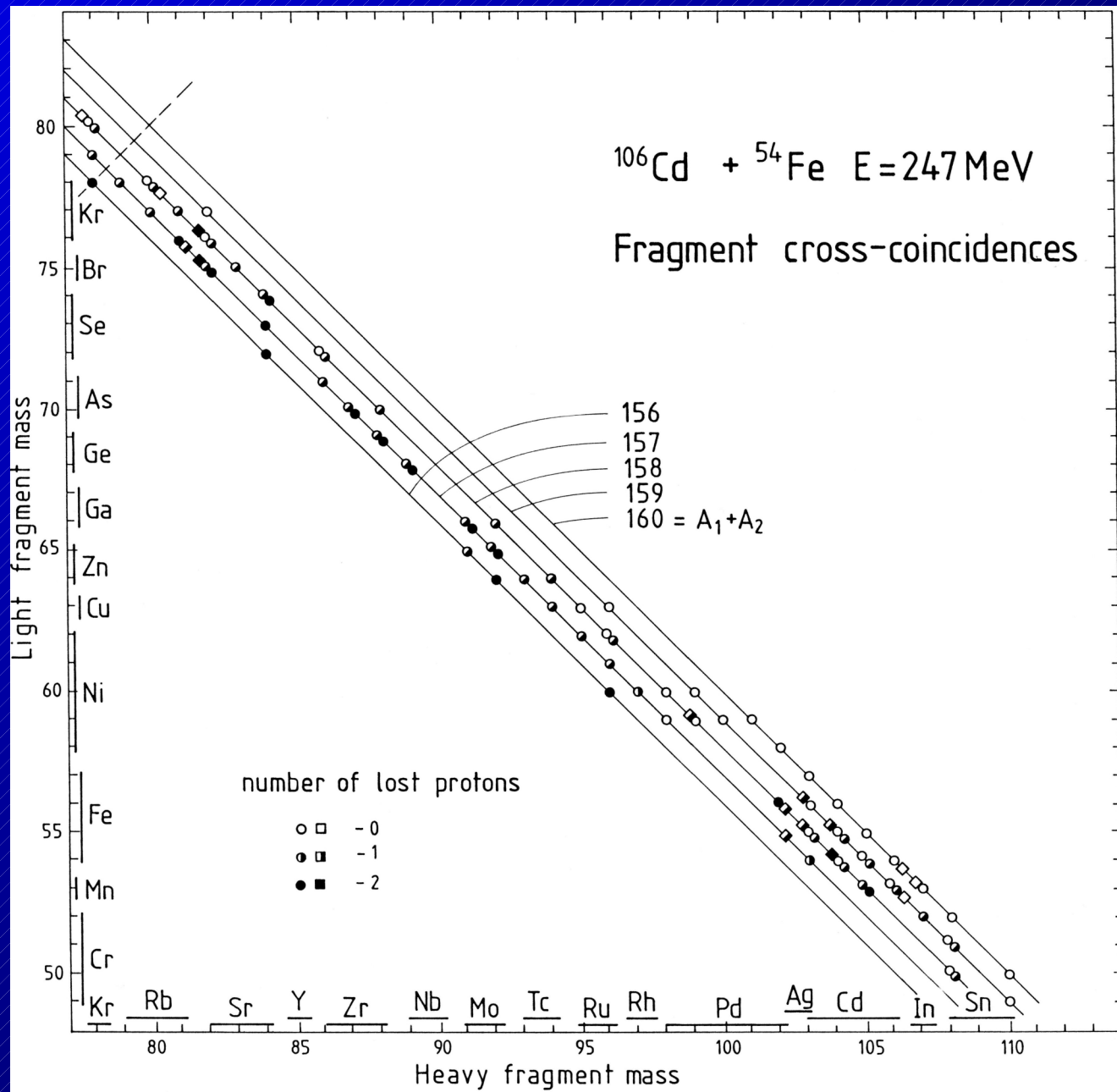
90

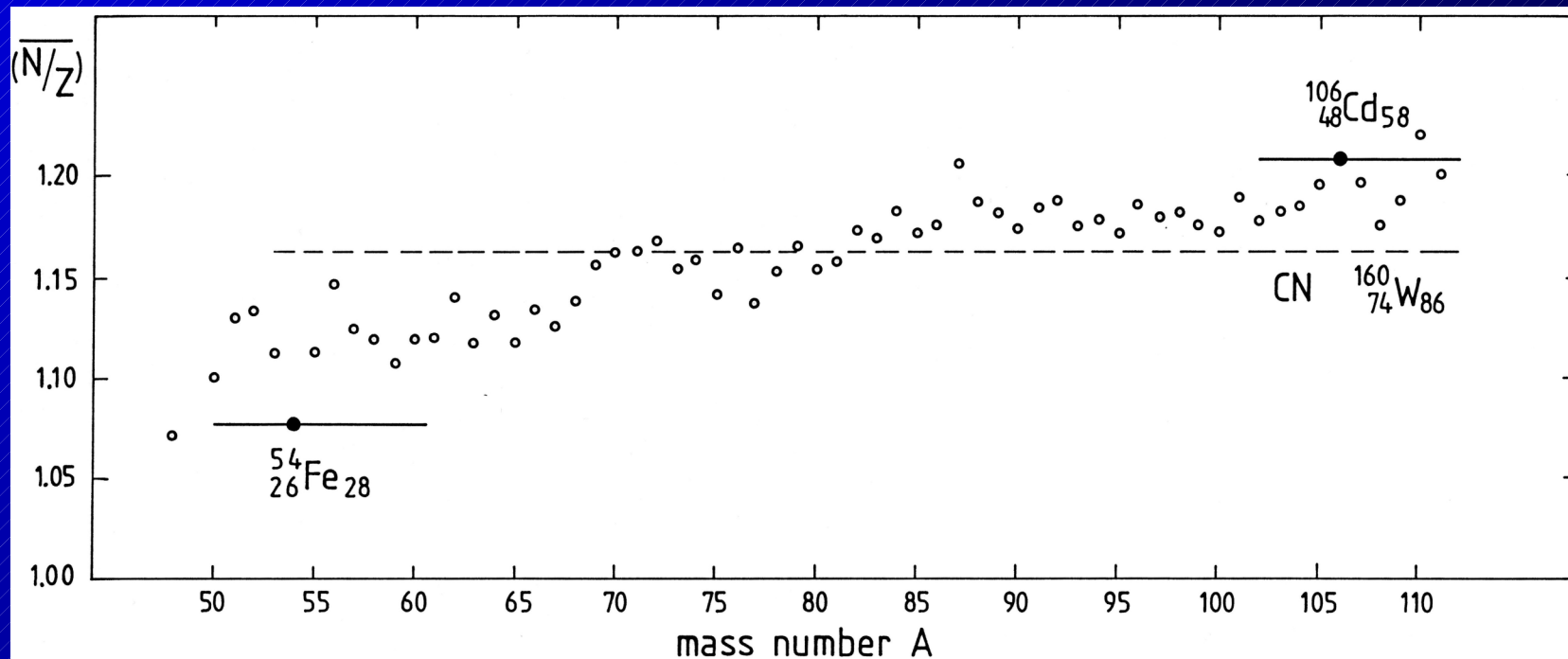
100

110

mass number A

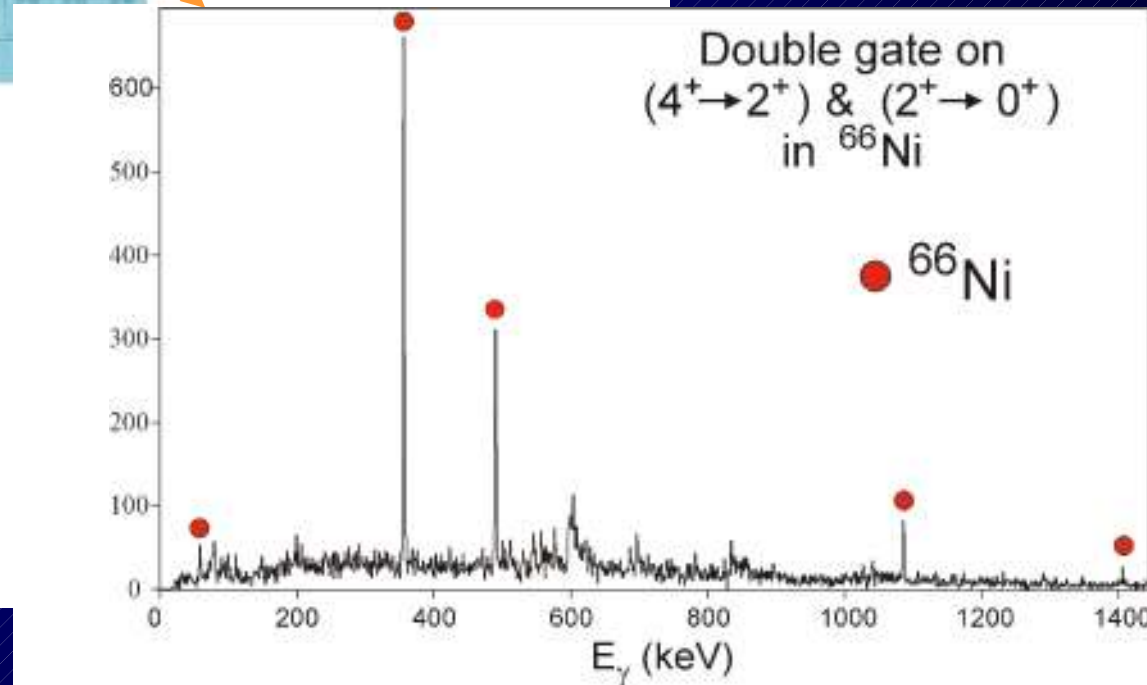
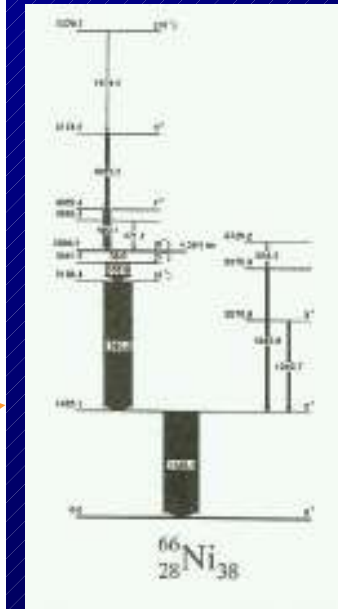
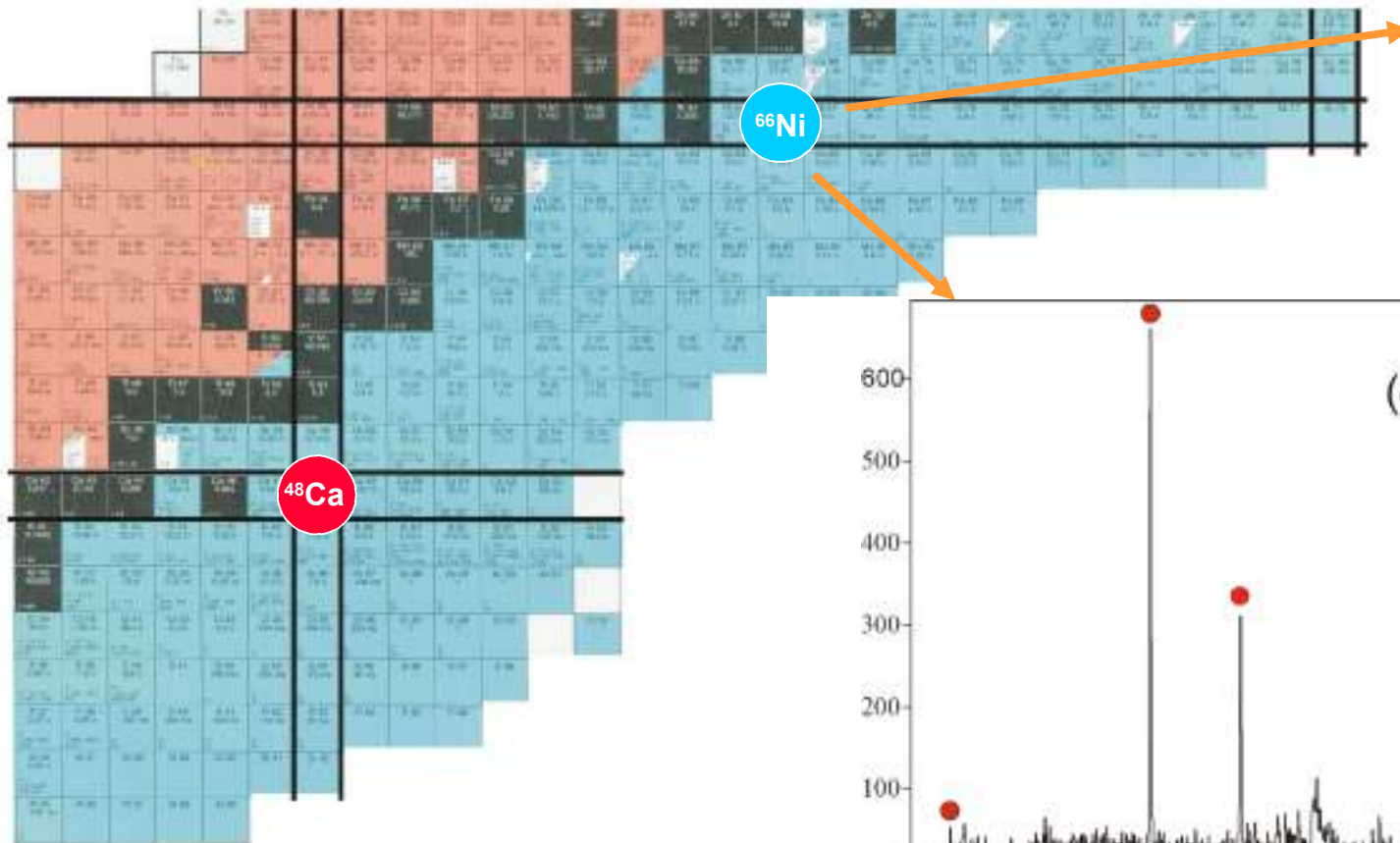




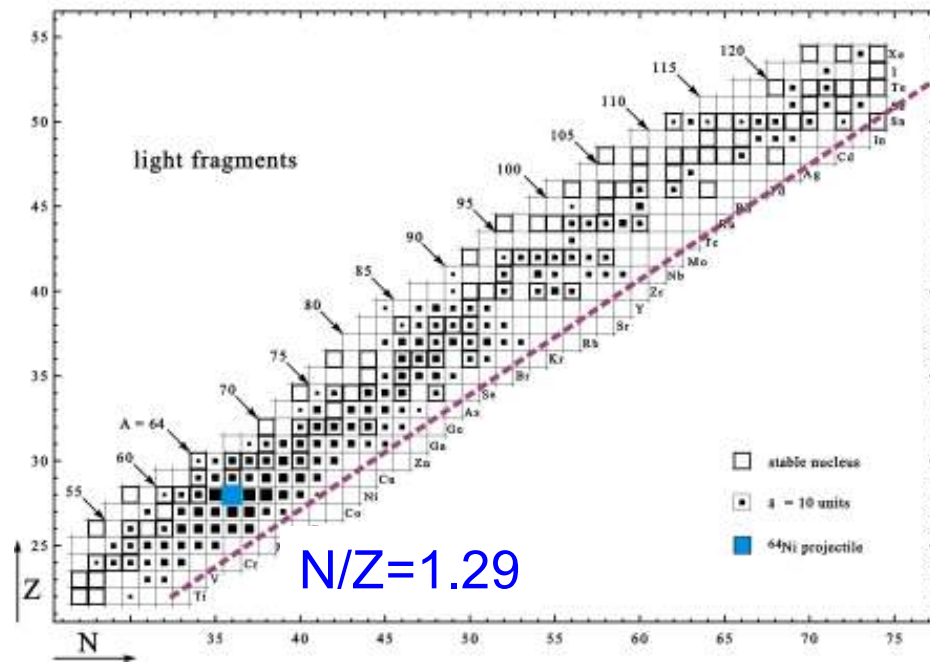
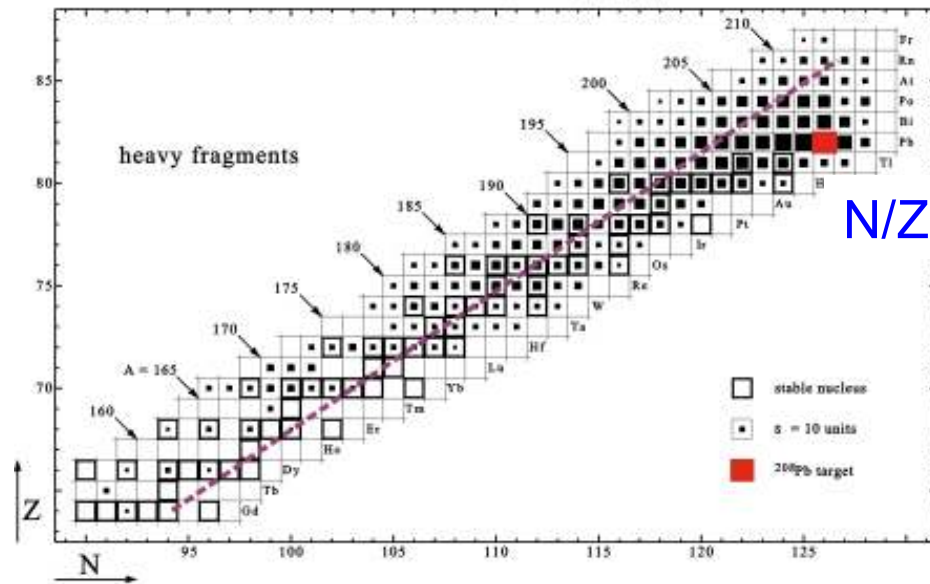


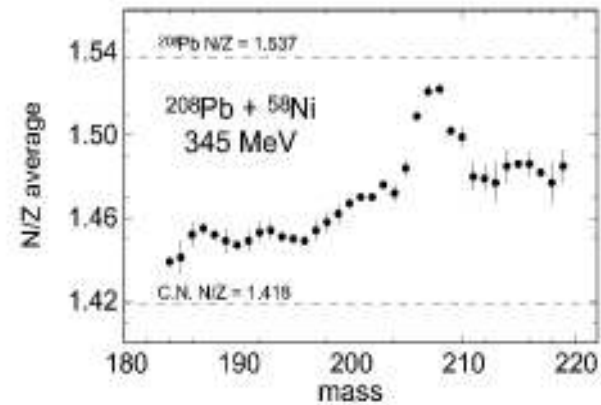
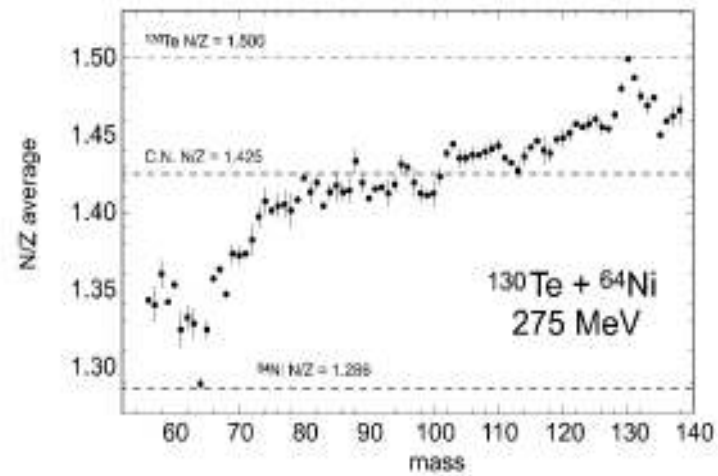
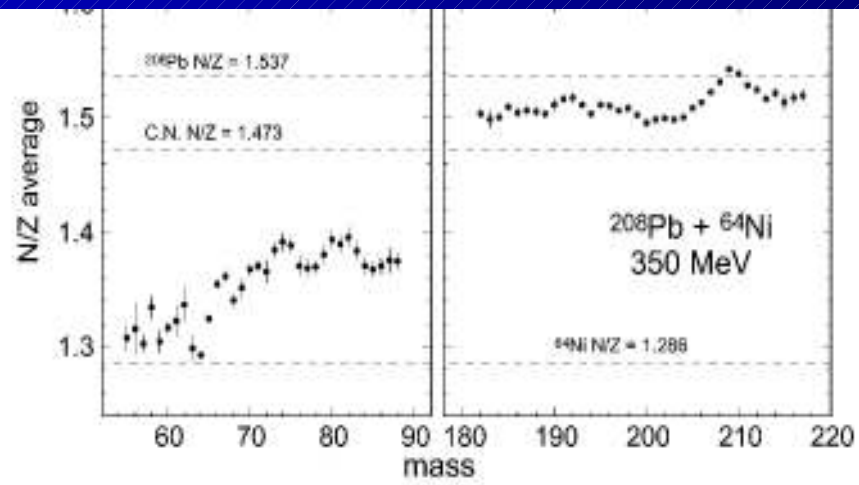
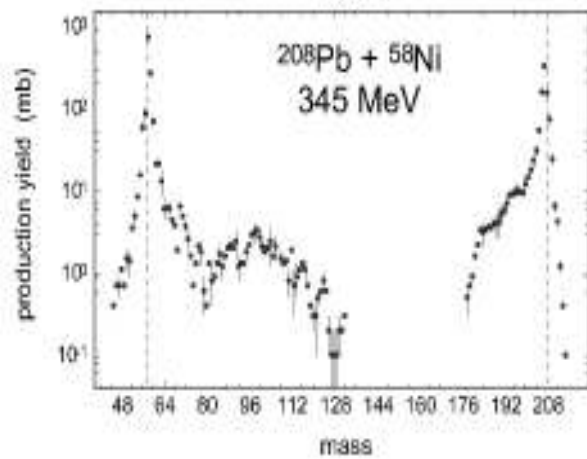
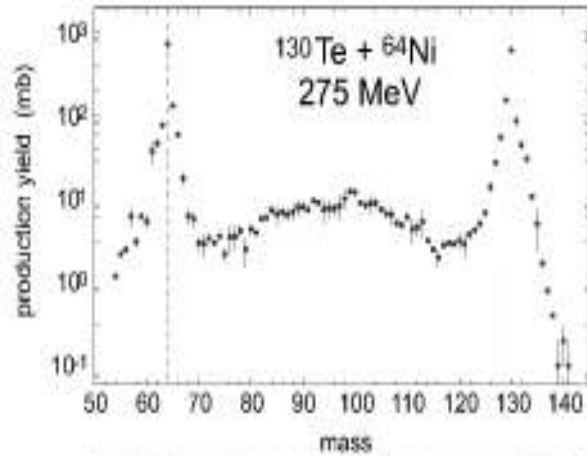
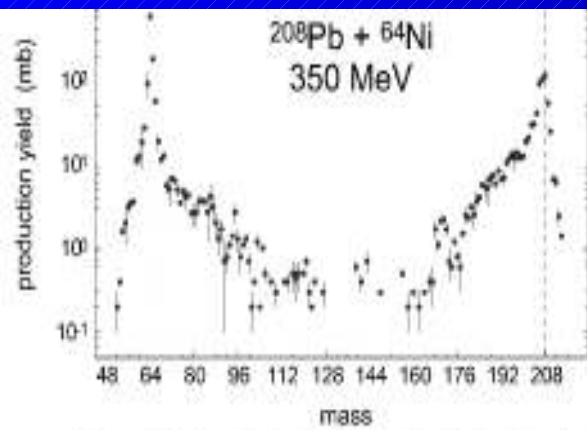
$^{48}\text{Ca}$  (330 MeV) +  $^{238}\text{U}$  (thick target)

GAMMASPHERE at Argonne



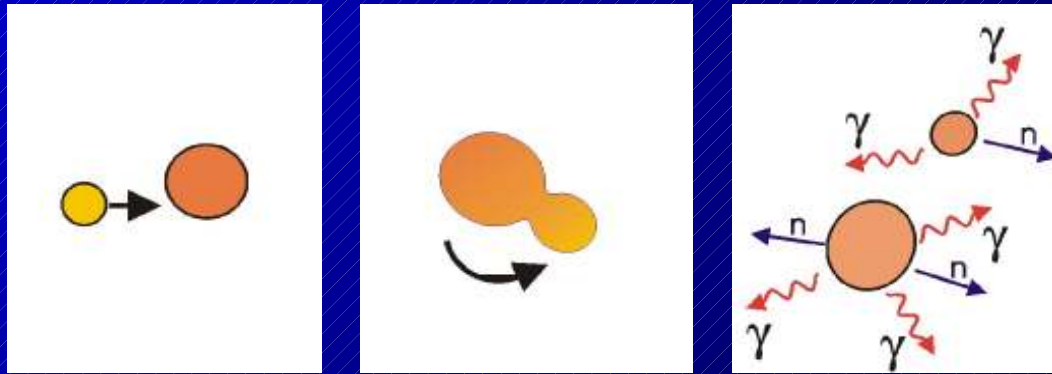
$^{64}\text{Ni} + ^{208}\text{Pb}$   $E_{\text{beam}} = 350 \text{ MeV}$



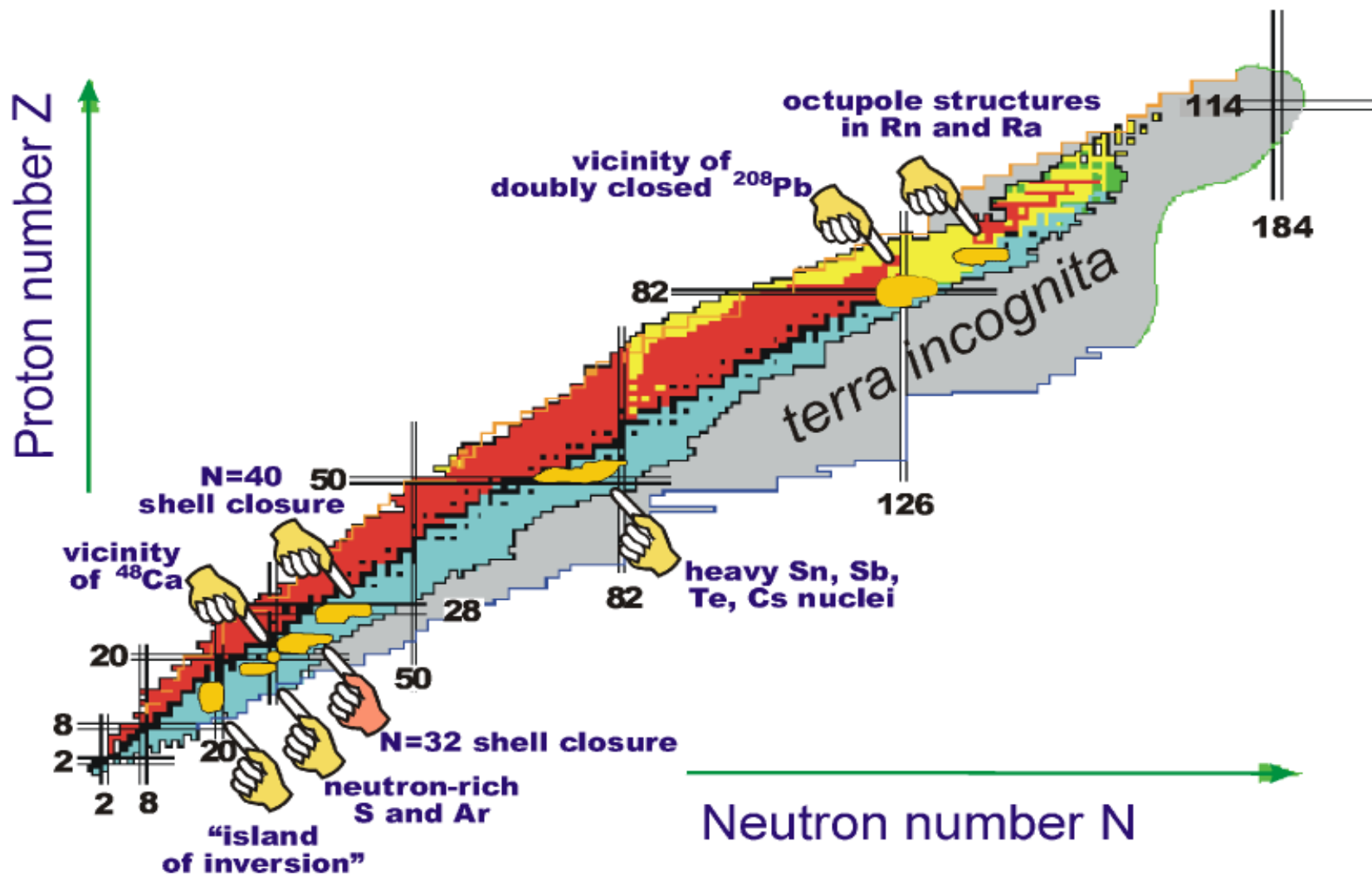




# Jądra z nadmiarem neutronów produkowane w głęboko- nieelastycznych procesach



- Wiązki ciężkich jonów o energiach powyżej bariery kulombowskiej,
- Jądra stabilne z nadmiarem neutronów używane jako jądra wiązki i tarczy
- Transfer nukleonów – tendencja do równoważenia  $N/Z$
- Populacja stanów o wysokich spinach -yrast

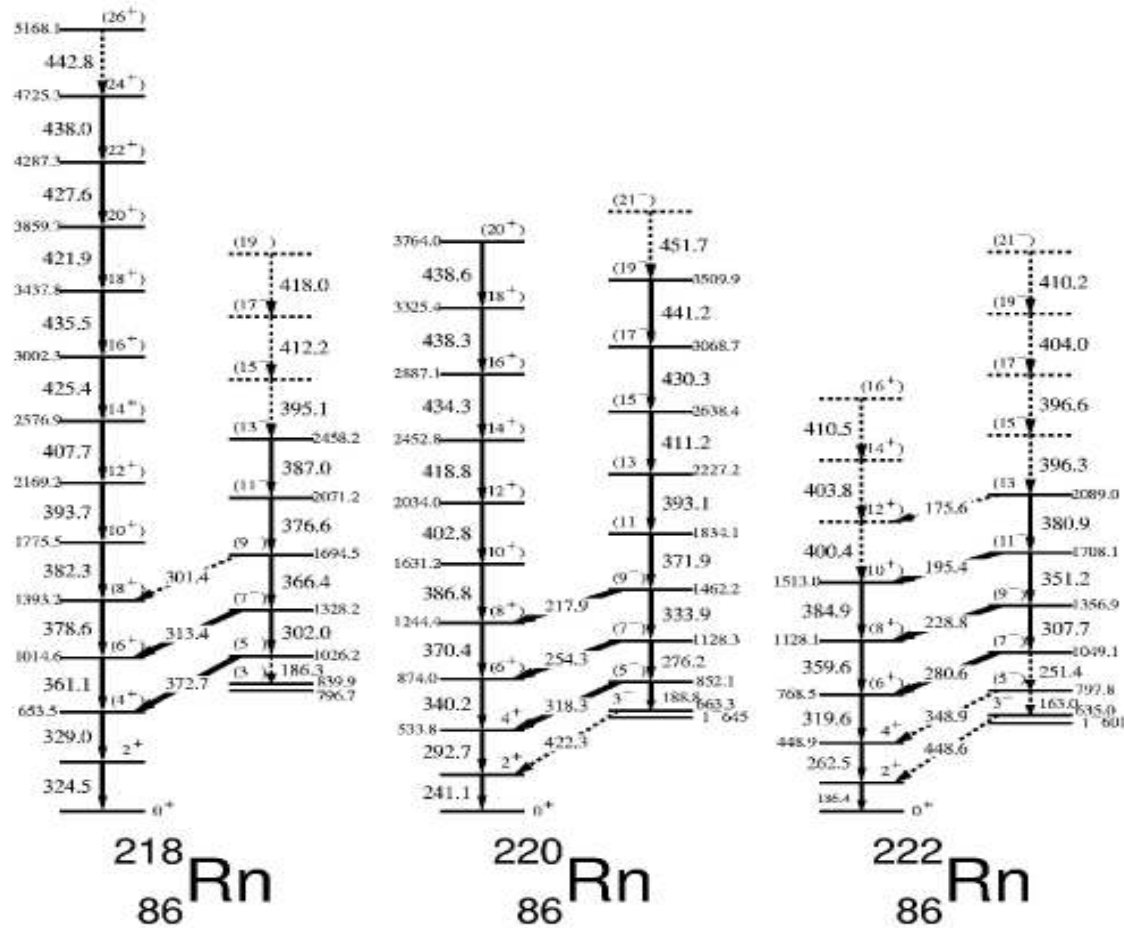


# 232Th + 136Xe Berkeley experiment

with ~ 80 Gammasphere detectors

J.F.C.Cocks et al. Phys.Rev.Lett.78,2920 (1997)

J.F.C.Cocks et al. Nucl.Phys.A645, 61 (1999)



# $^{208}\text{Pb}$ early high spin states study

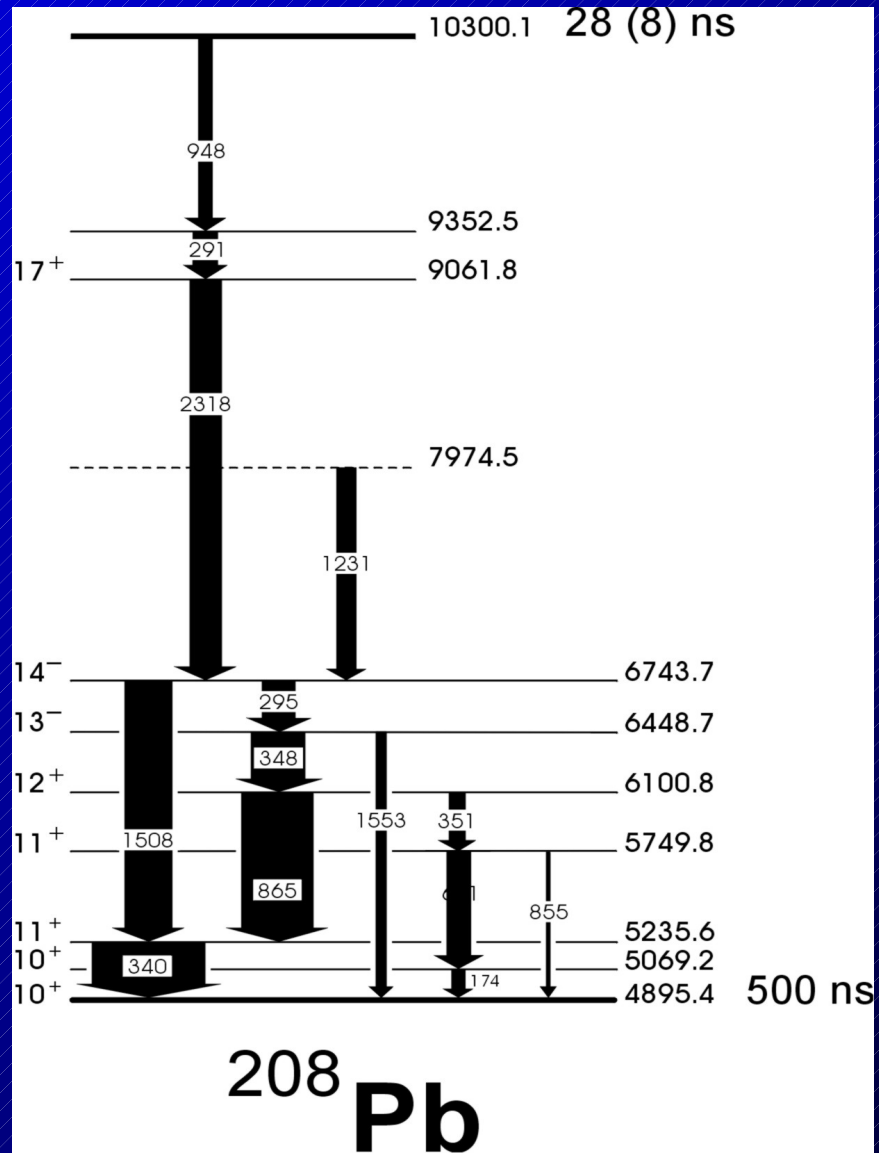
$(e,e')$  - J.P. Connelly et al., Phys. Rev. C 45, 2711 (1992)

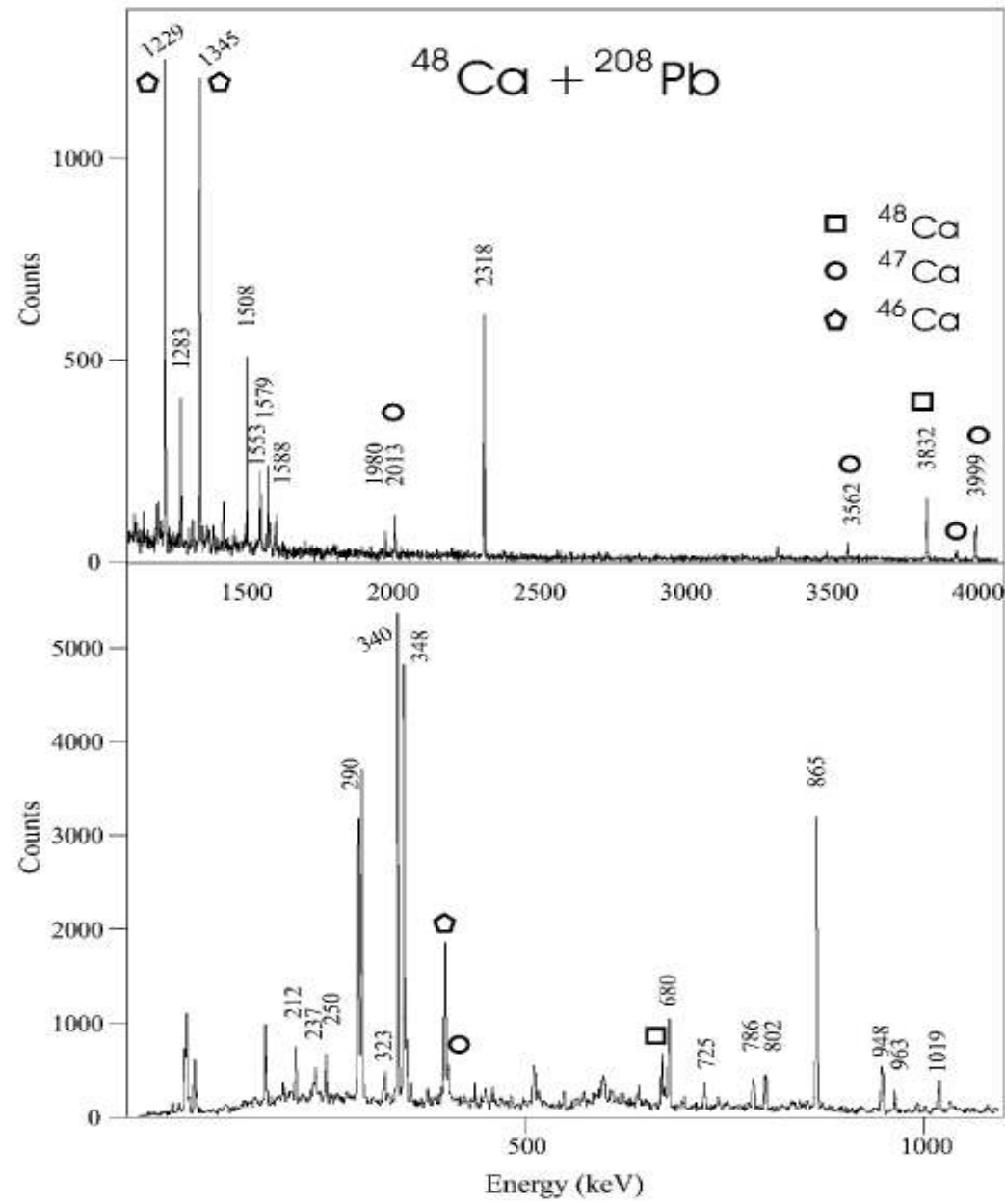
*Deep Inelastic Reactions*

$^{64}\text{Ni} + ^{208}\text{Pb}$  - M. Schramm et al., Z. Phys. A 344, 363, (1993)

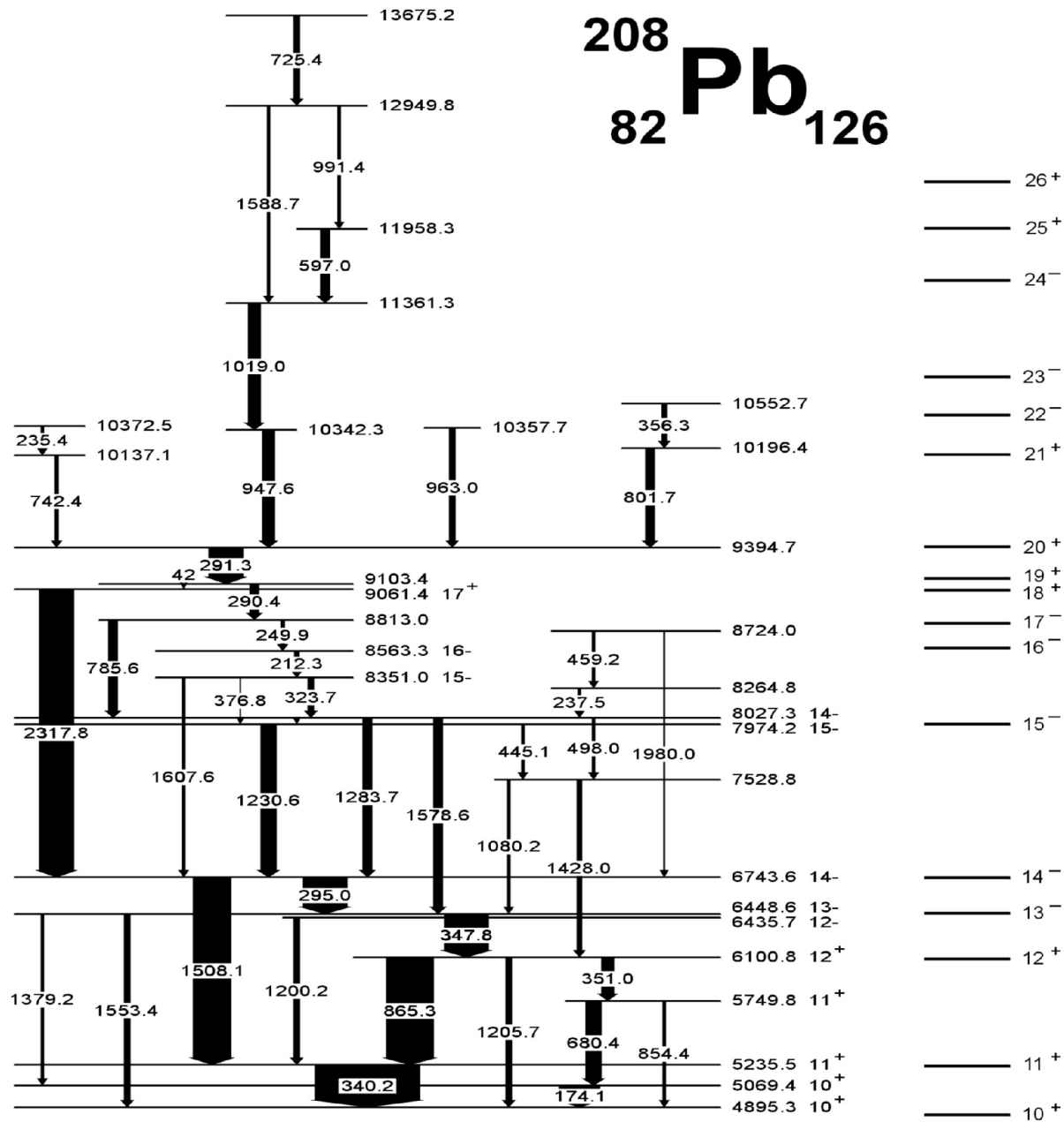
Gas



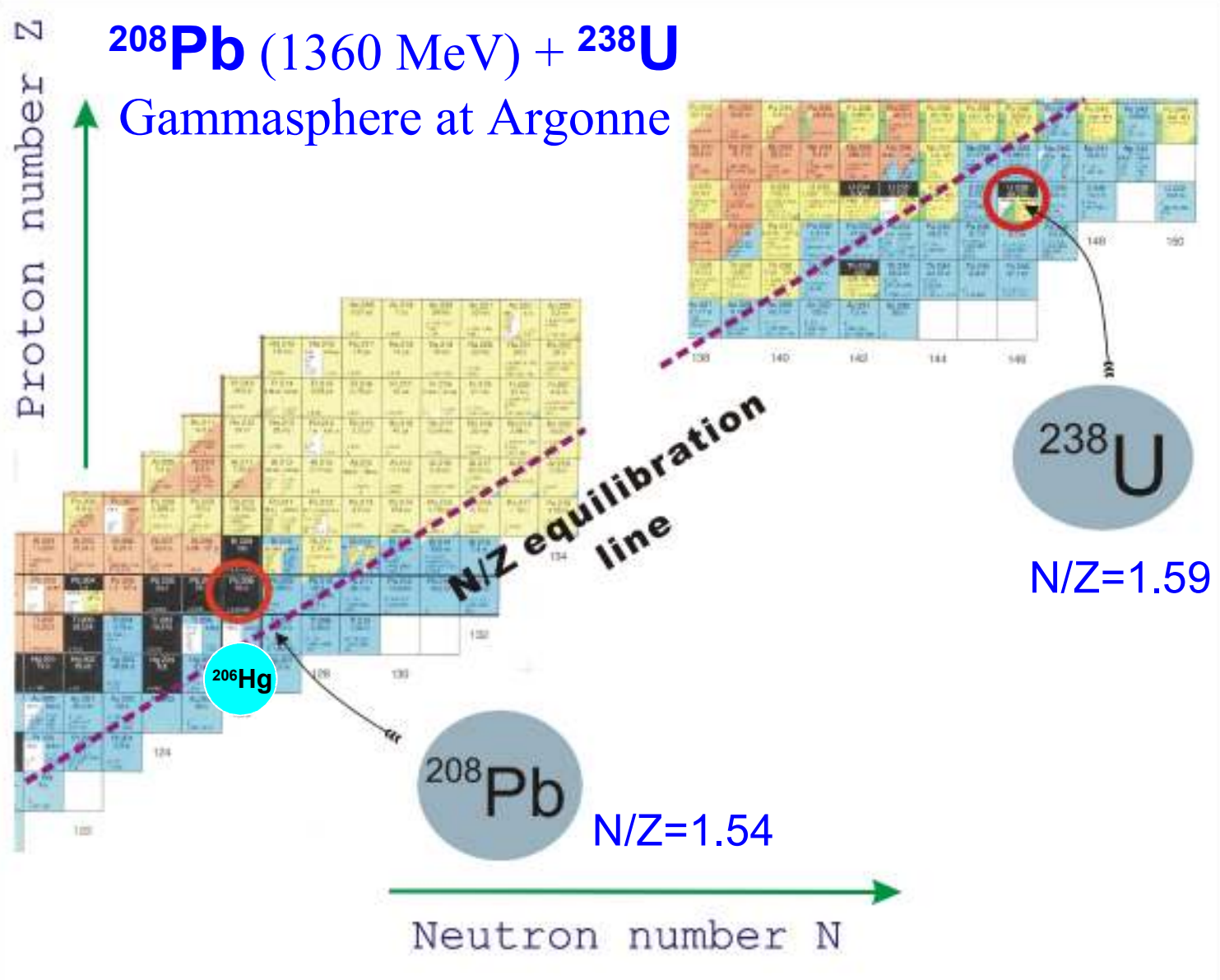




# 208 82 Pb 126



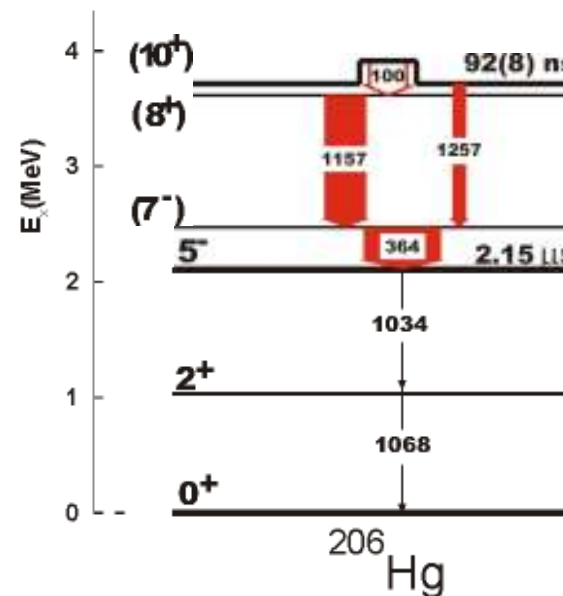
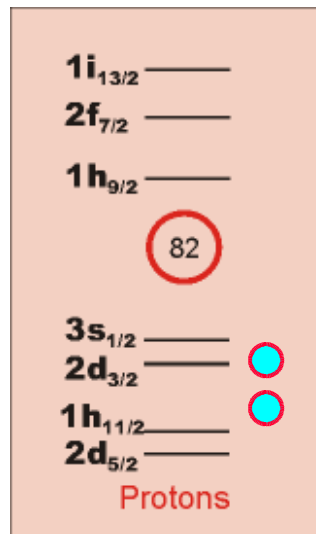




$$e_{\text{pol}}(\pi h_{11/2}^{-1}) = 0.60(7) e$$

$$Q_{\text{exp}}(\pi h_{11/2}^{-1}) = 48(2) \text{ fm}^2 \quad Q_{\text{s.p.}}(\pi h_{11/2}^{-1}) = 30 \text{ fm}^2$$

$$B(E2; 10^+ \rightarrow 8^+) = 70(7) e^2 \text{ fm}^4$$

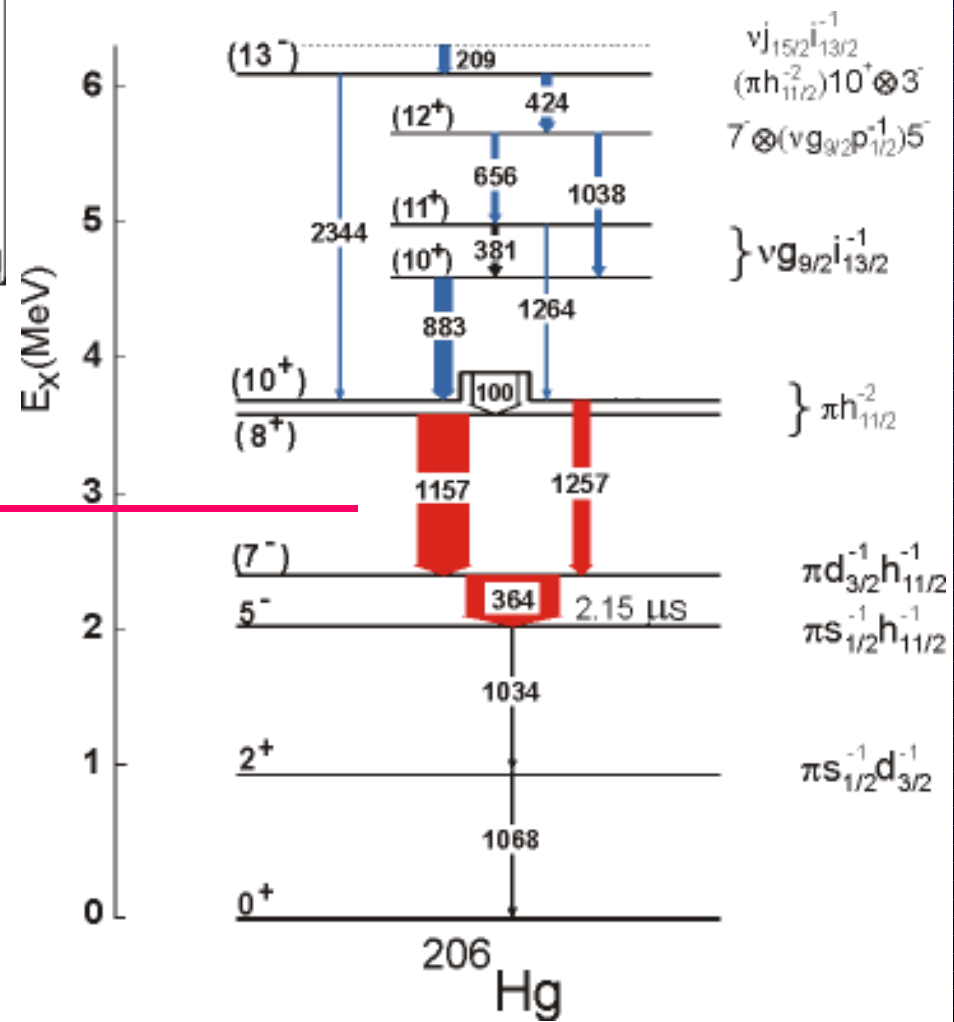
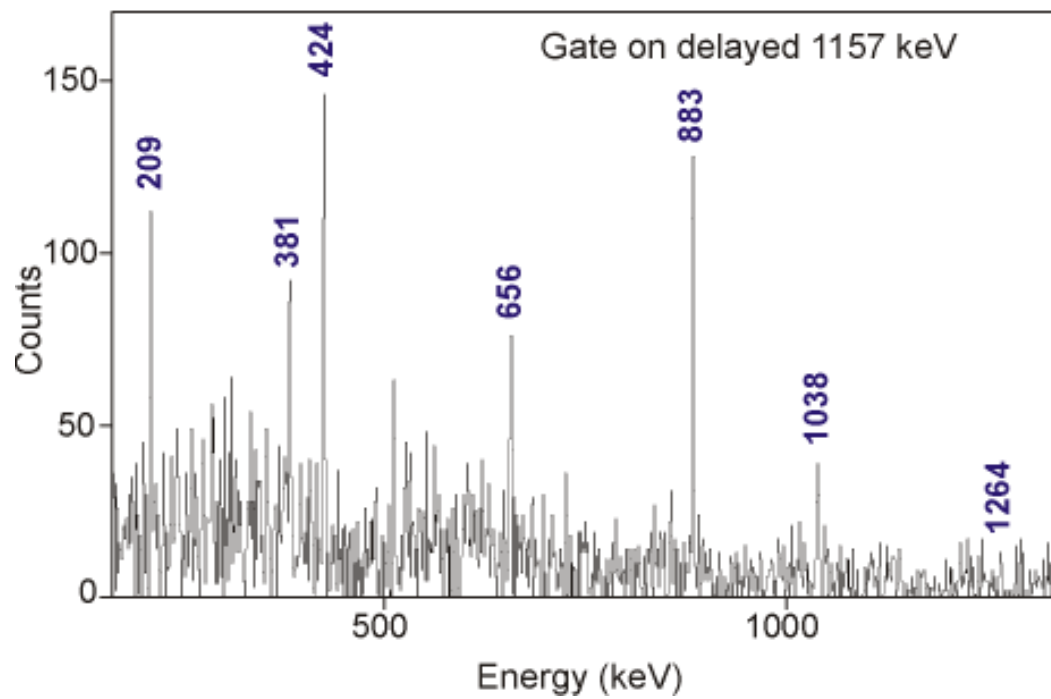


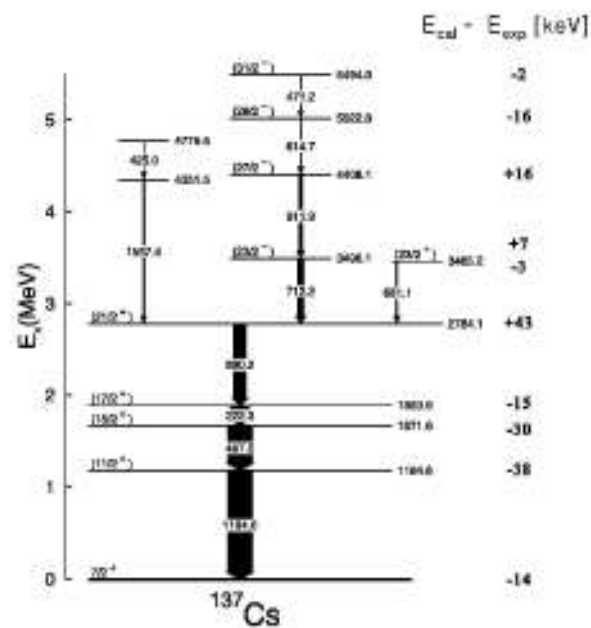
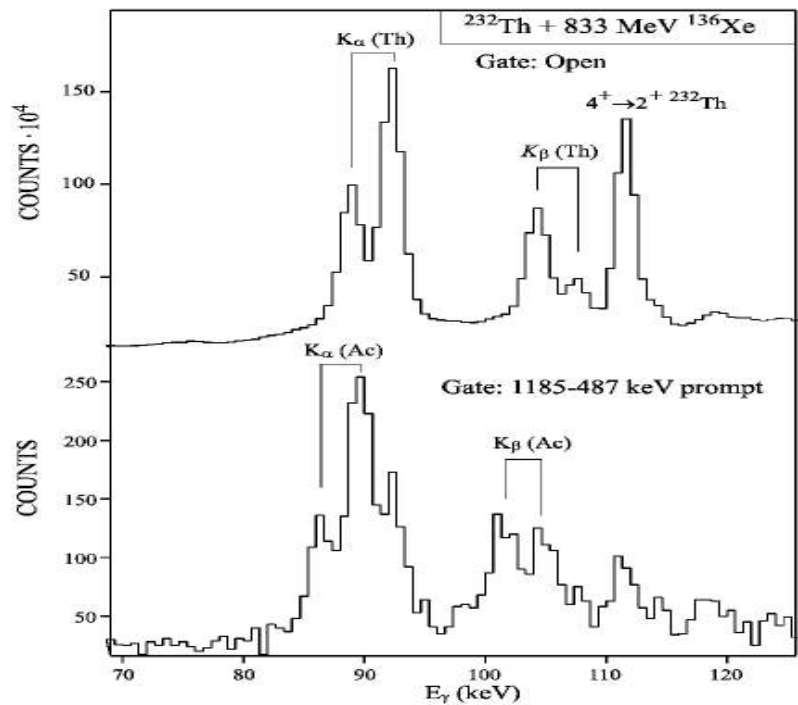
$$\begin{array}{l} 10^+ \\ 8^+ \end{array} \quad \pi(h_{11/2}^{-1})^2$$

$$\begin{array}{l} 7^- \\ 5^- \end{array} \quad \begin{array}{l} \pi d_{3/2}^{-1} h_{11/2}^{-1} \\ \pi s_{1/2}^{-1} h_{11/2}^{-1} \end{array}$$

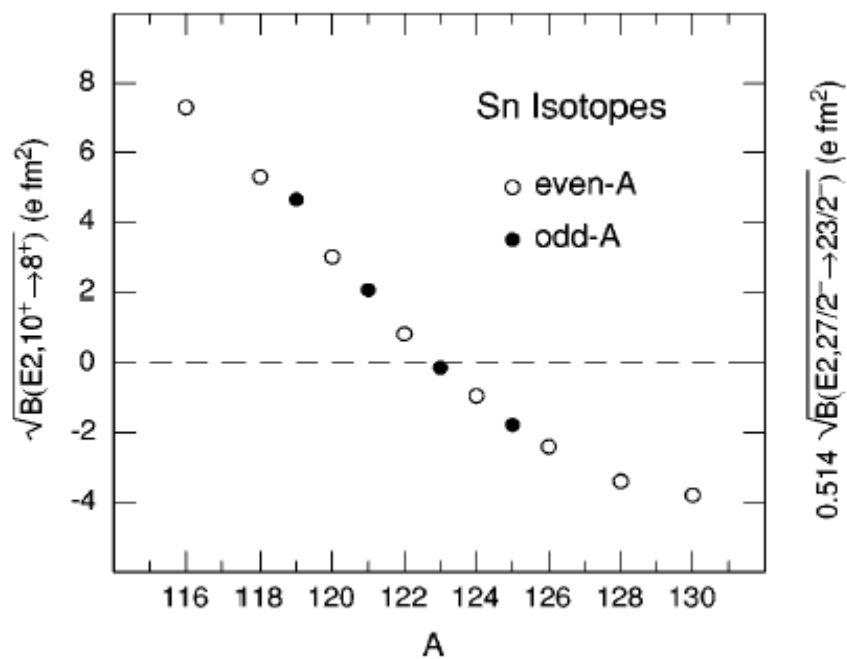
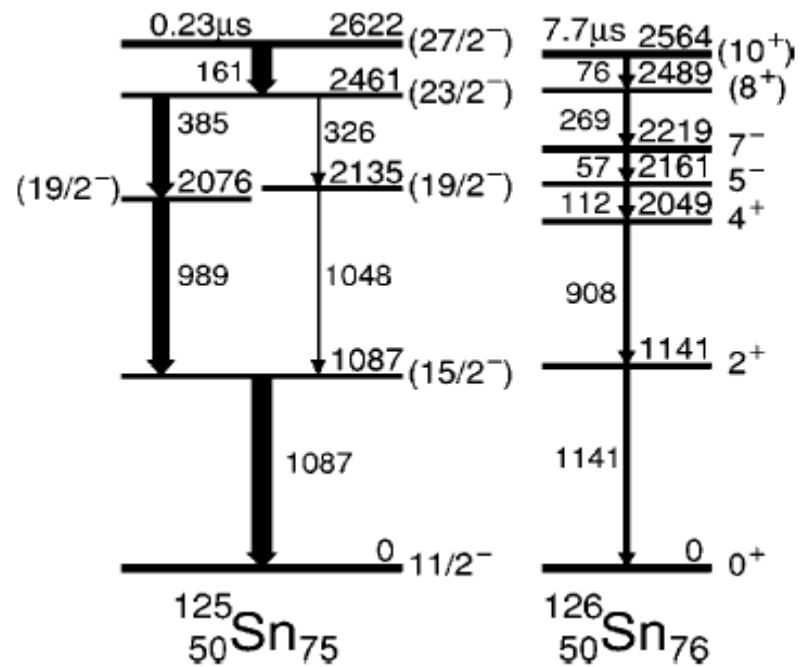
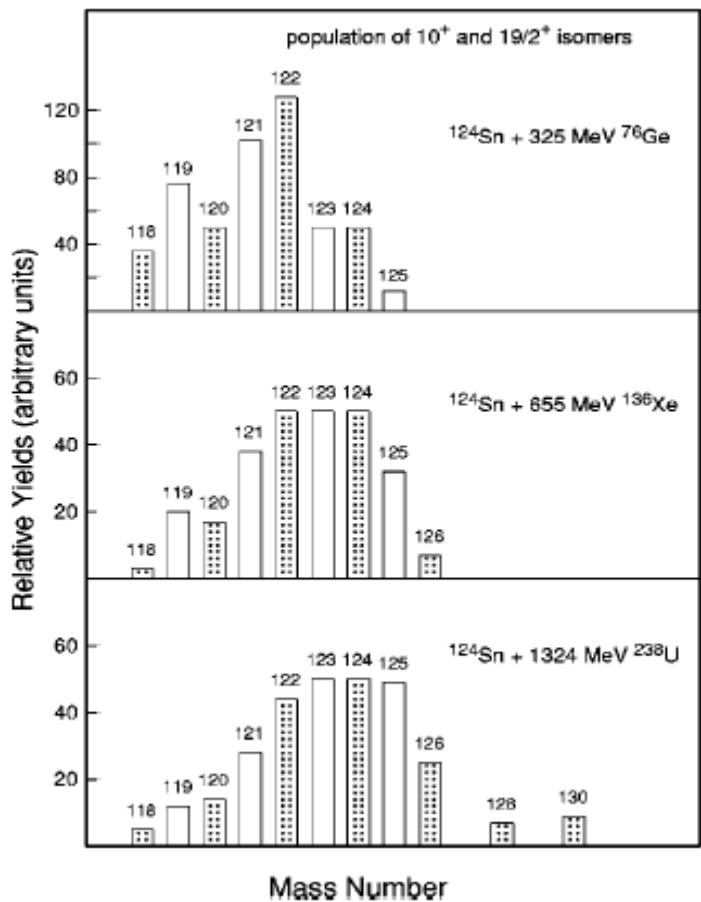
$$\begin{array}{l} 2^+ \\ 0^+ \end{array}$$

shell model calc.



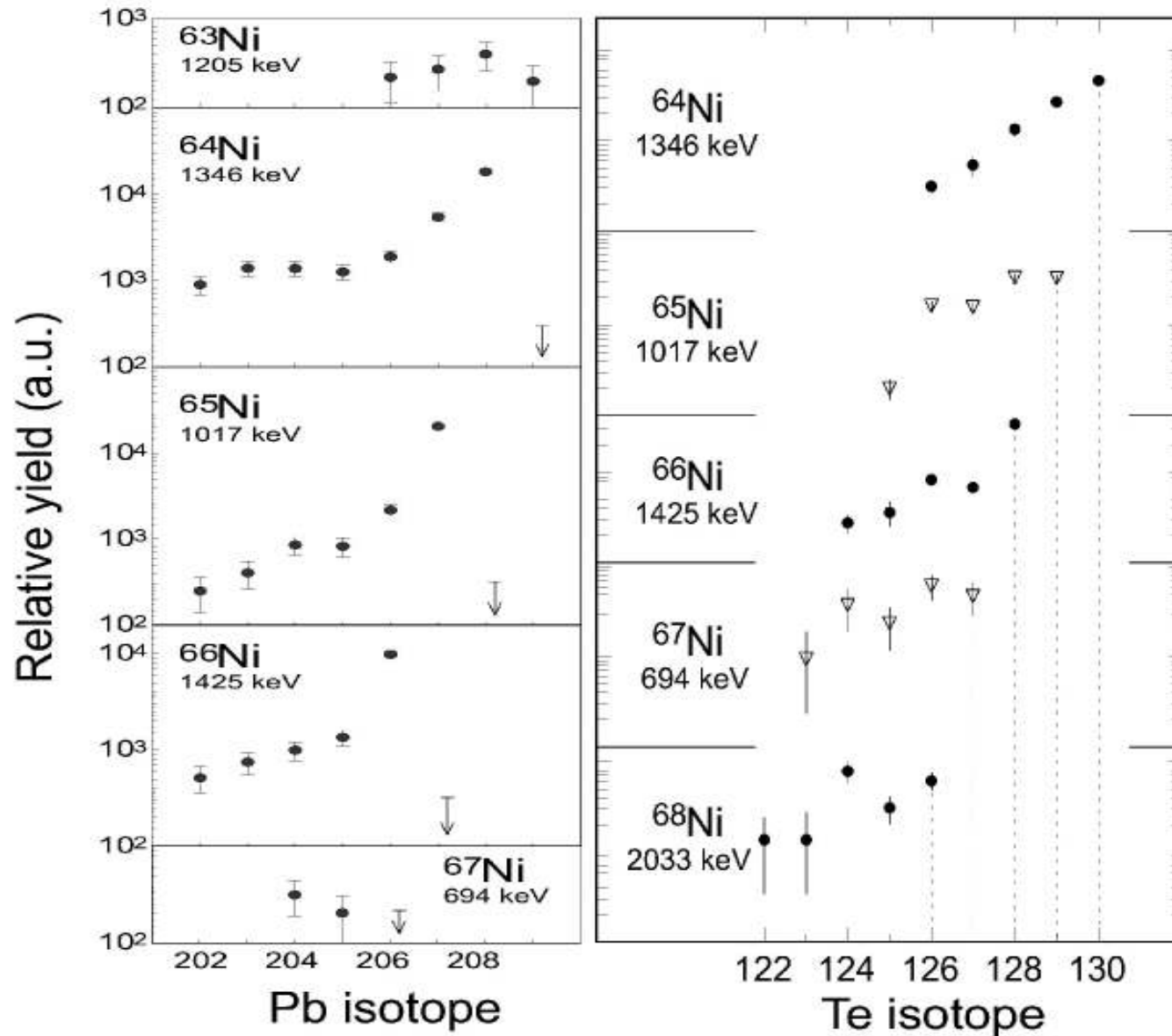


- $^{132}\text{Sn}$
- $^{133}\text{Sb}$
- $^{134}\text{Te}$
- $^{135}\text{I}$
- $^{136}\text{Xe}$
- $^{137}\text{Cs}$
- $^{138}\text{Ba}$

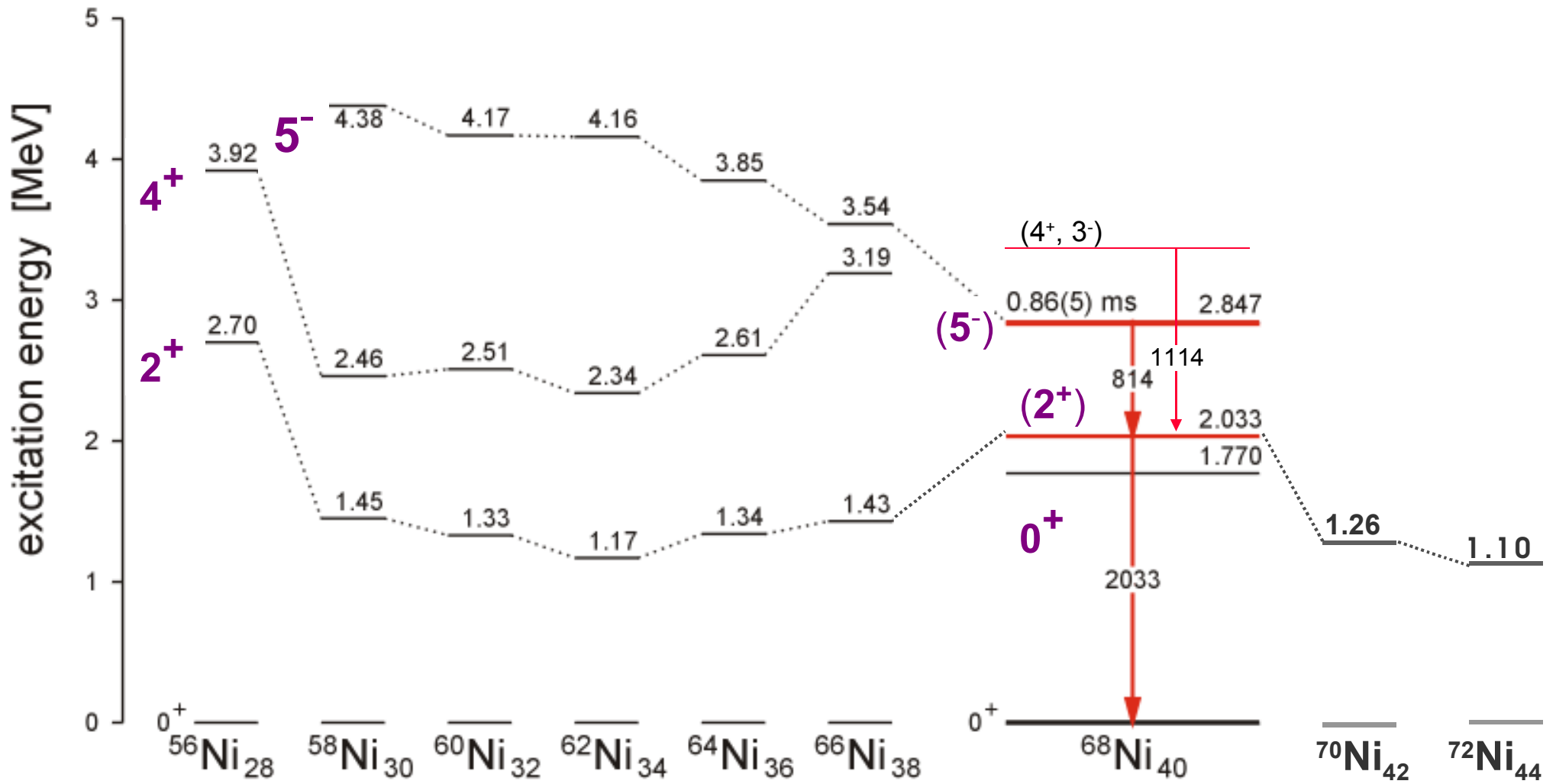


$^{64}\text{Ni} + ^{208}\text{Pb}$

$^{64}\text{Ni} + ^{130}\text{Te}$



R.Broda et al., Phys.Rev. Lett. 74, 868 (95)

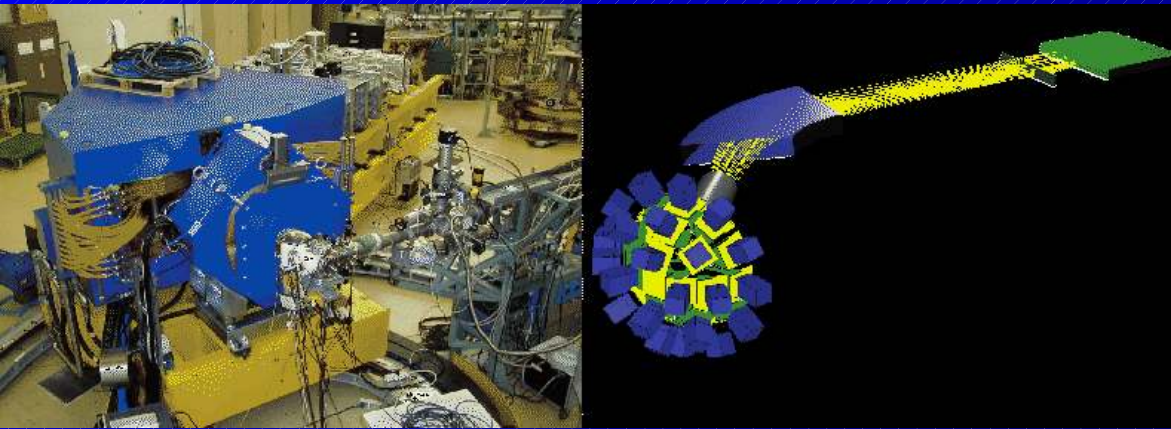


Eksperymenty z grubą tarczą są źródłem większości informacji o strukturze nowych jąder, ale:

- Ograniczone możliwości identyfikacji nowych jąder, zwłaszcza tych, produkowanych z małymi przekrojami czynnymi
- Niemożność obserwacji stanów krótkożyciowych – rozmycie dopplerowskie



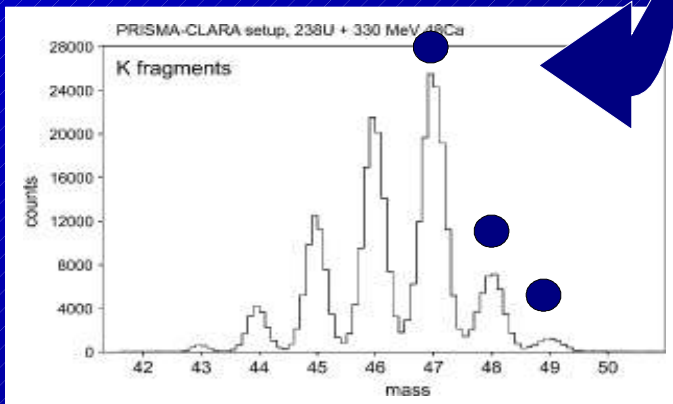
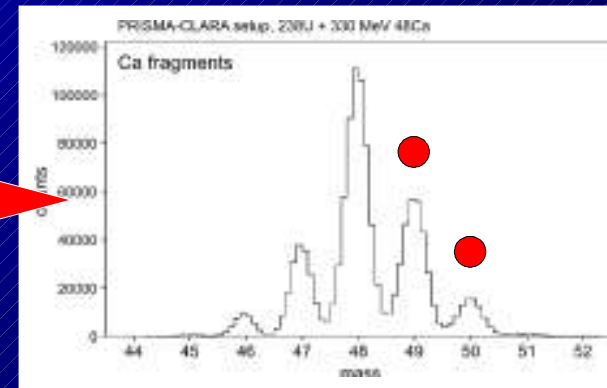
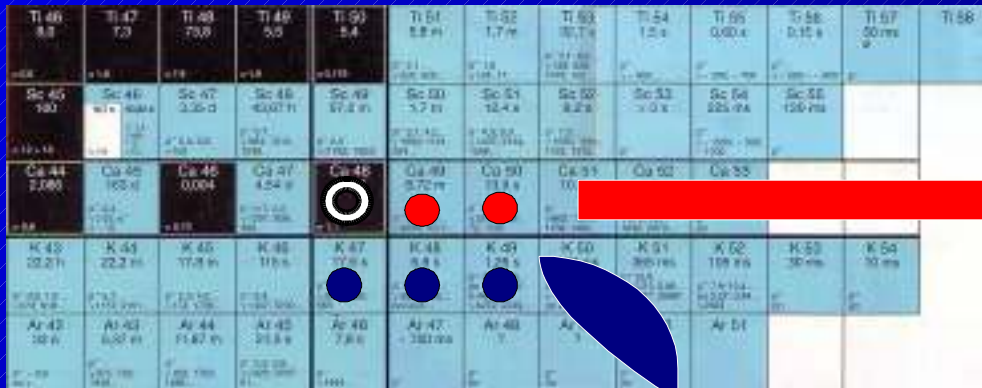
# PRISMA spectrometer



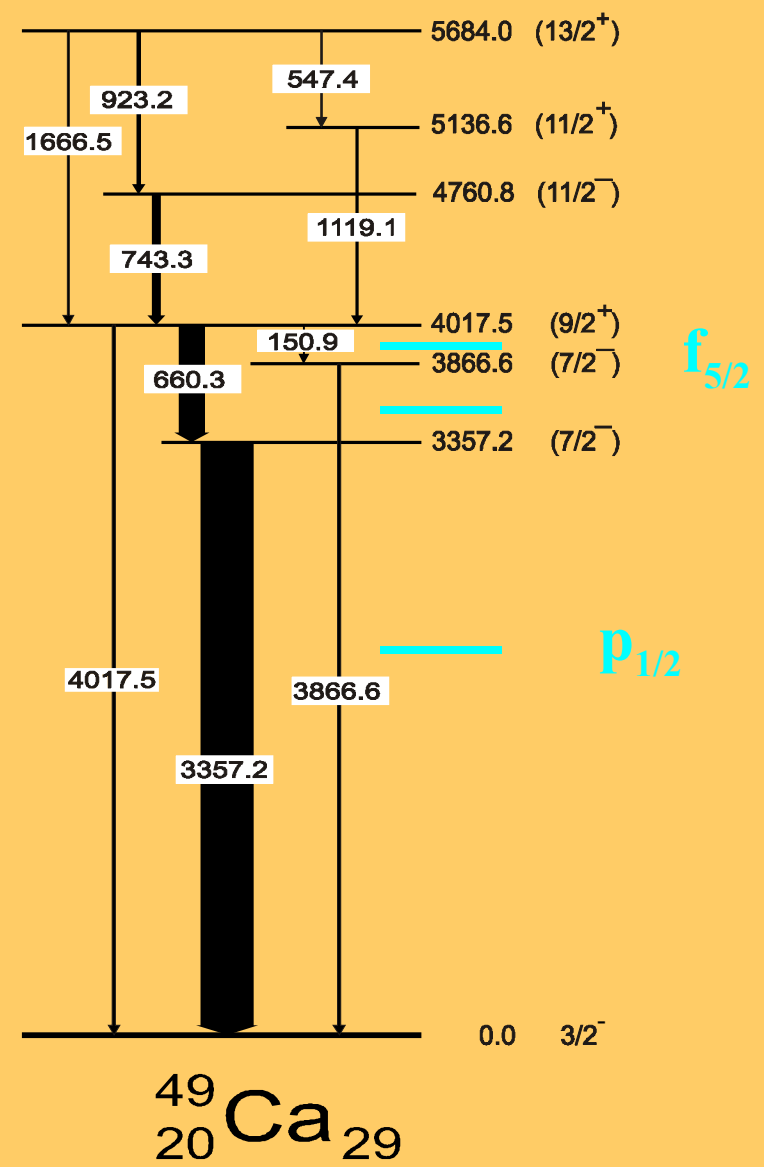
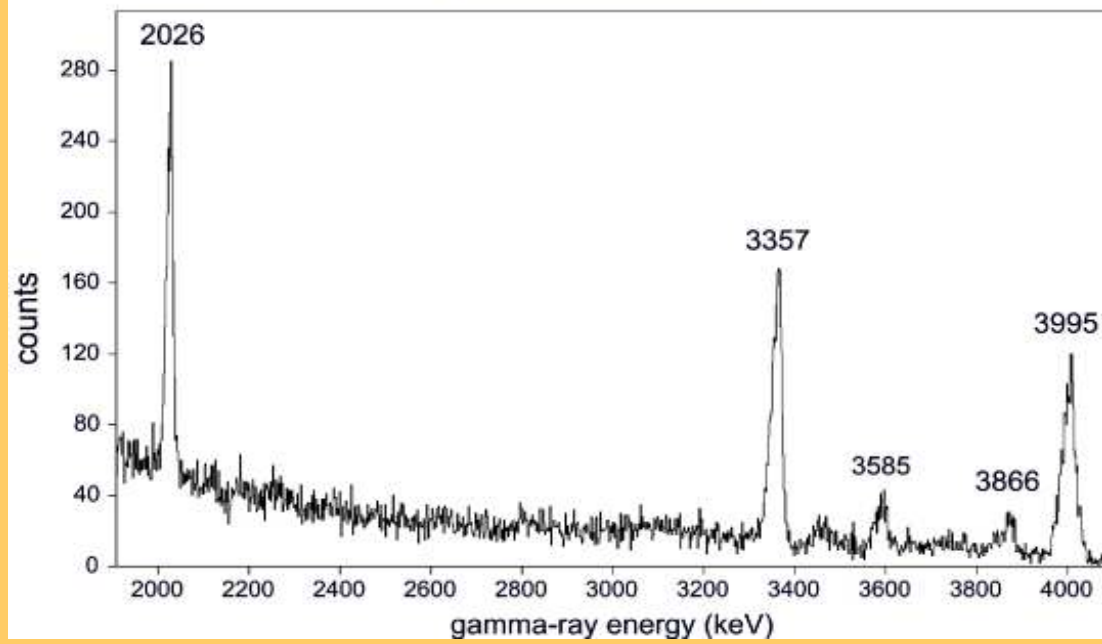
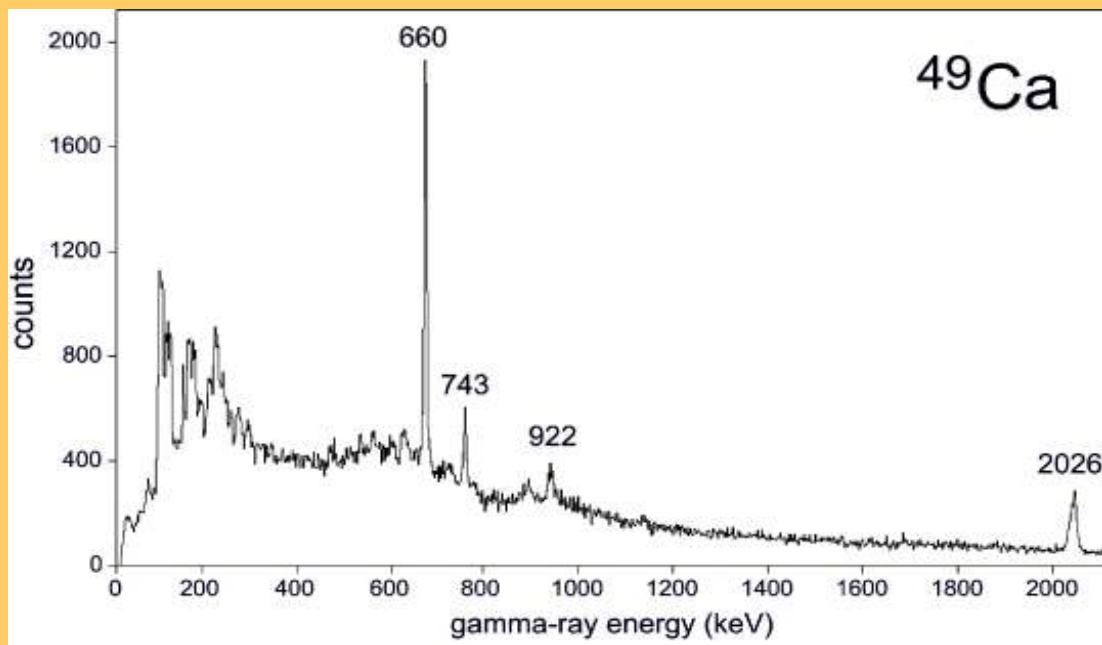
- Complementary sets of data:  
**PRISMA** –  $(A, Z)$  identification, fast  $\gamma$  transitions  
and **GAMMASPHERE** –  $\gamma$  -  $\gamma$  coincidence data

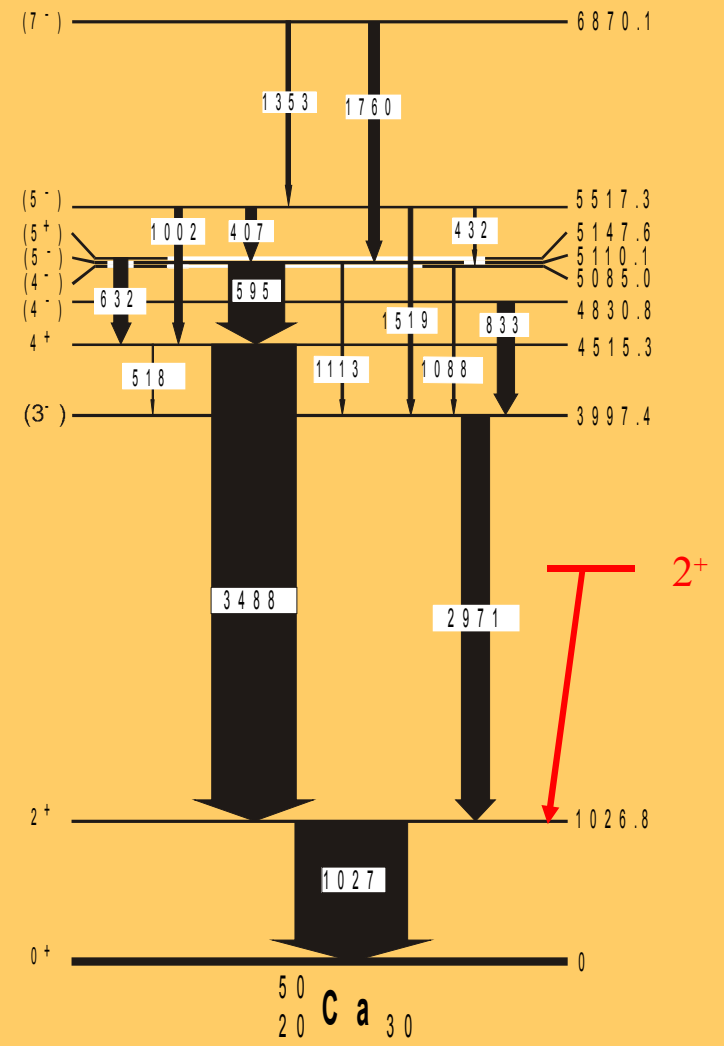
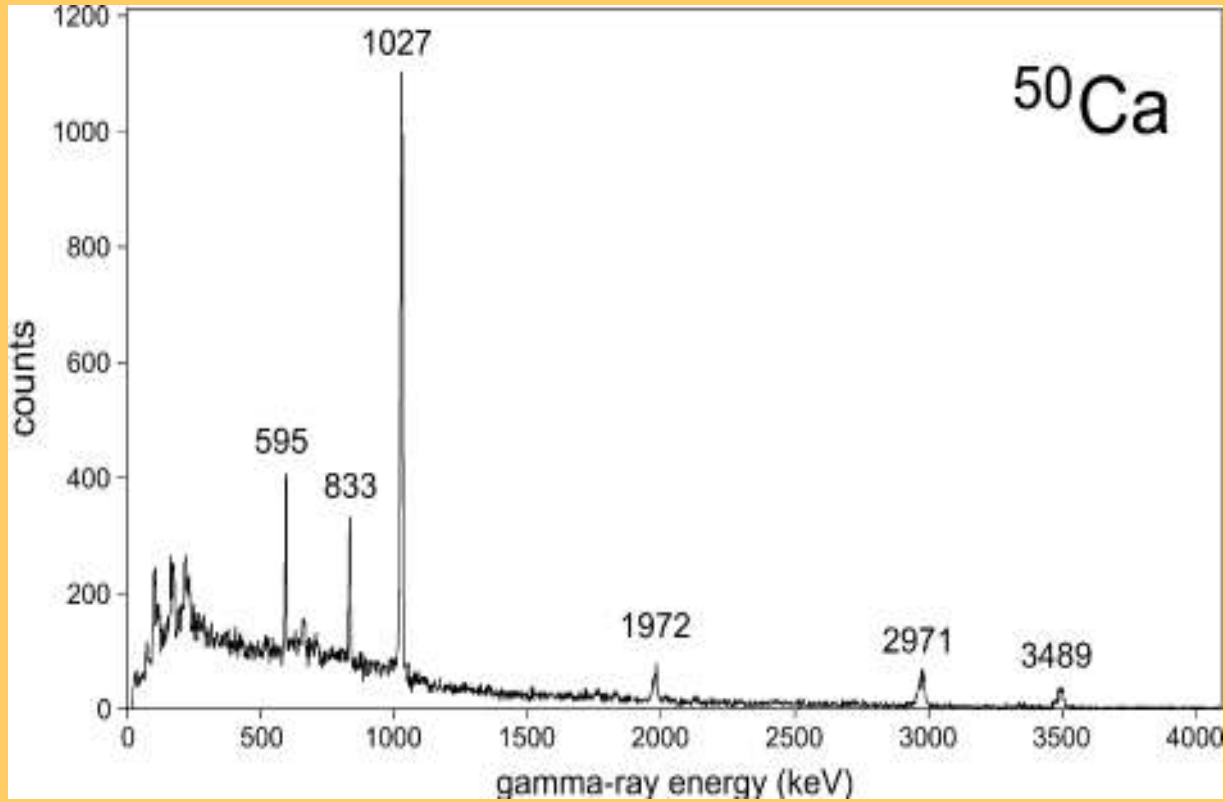
- A magnetic heavy ion spectrometer designed to fully identify  $(A, Z)$  fragments deflected at large angles
- CLARA: an array of 24 Clover detectors

# New results for $N \geq 28$ Ca and K isotopes

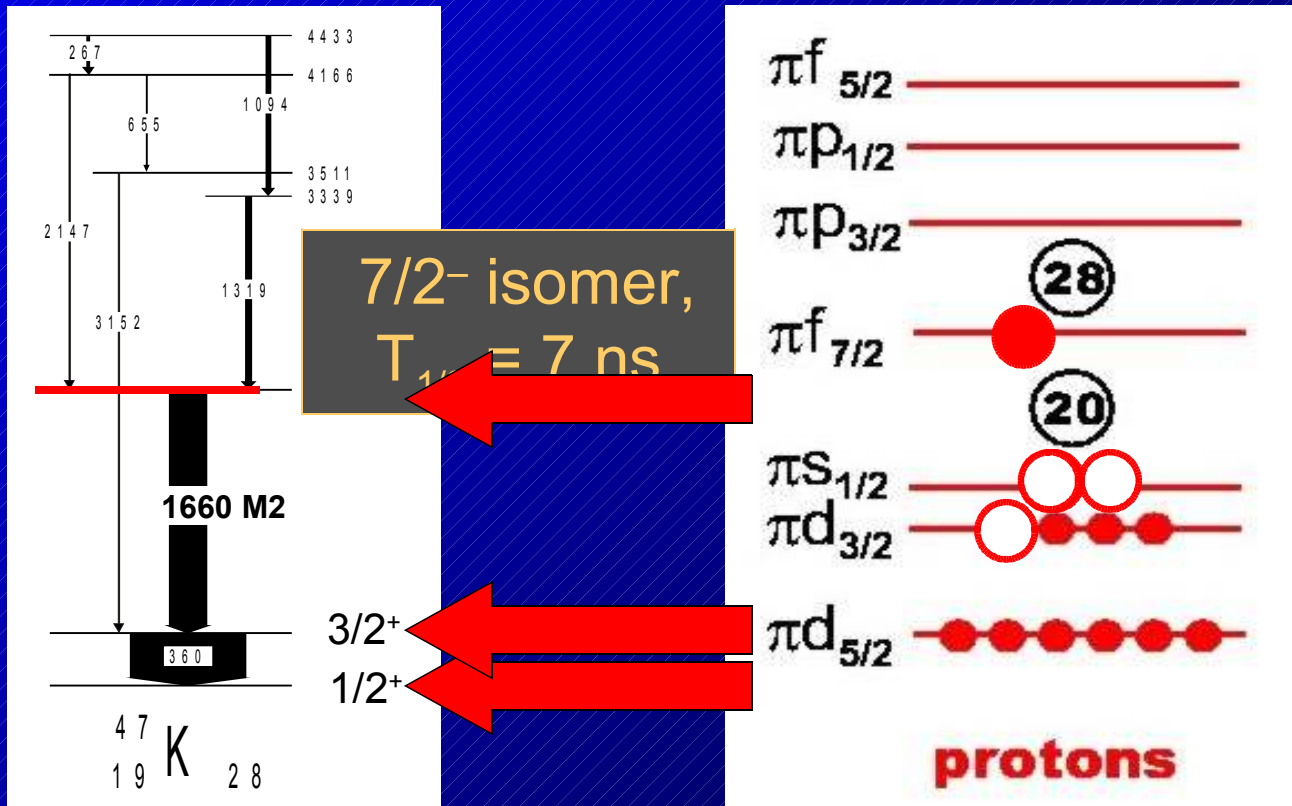


- Identification of new short-lived states in  $^{49}\text{Ca}$  ( $\pi p_{1/2}$ ,  $\pi f_{5/2}$  single particle energies) and  $^{50}\text{Ca}$  ( $2^+_2$ )
- A new  $7/2^-$  isomer in  $^{47}\text{K}$
- Observation of excited states in  $^{48}\text{K}$  and  $^{49}\text{K}$

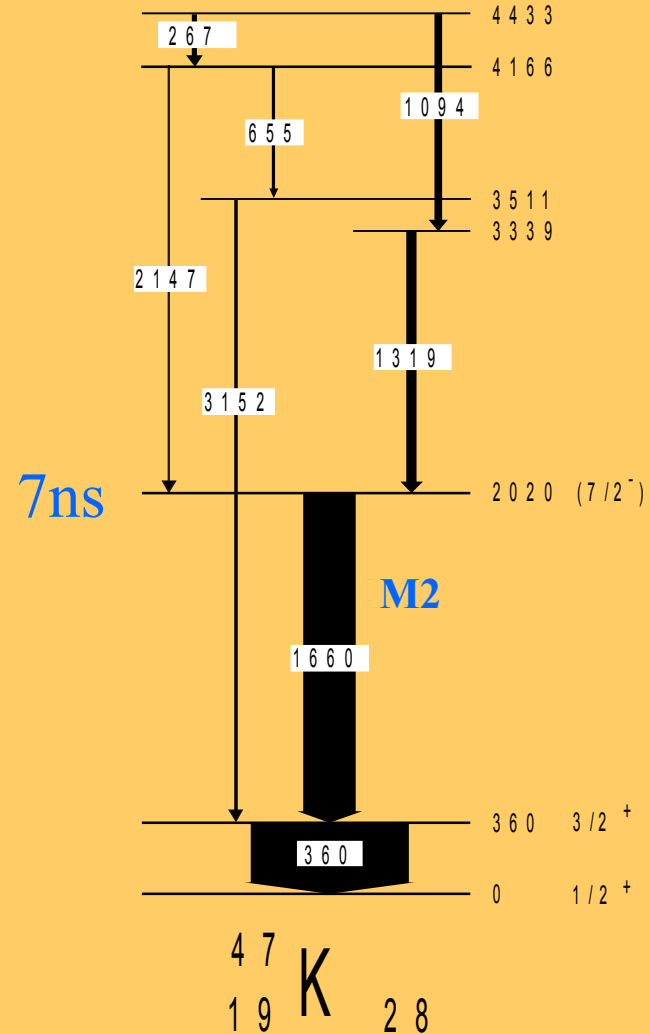
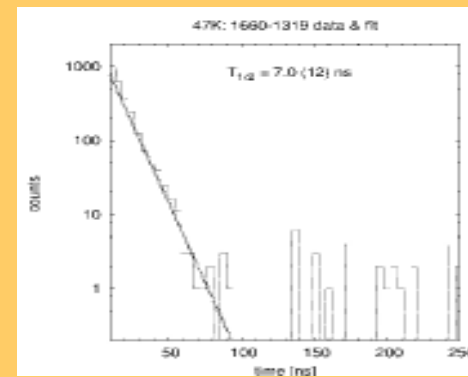
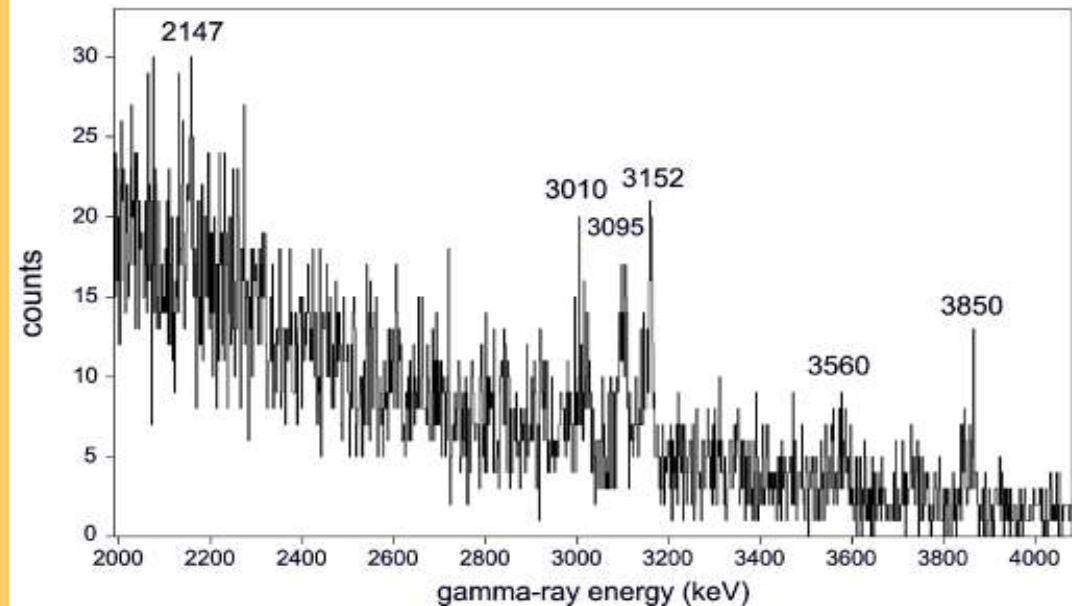
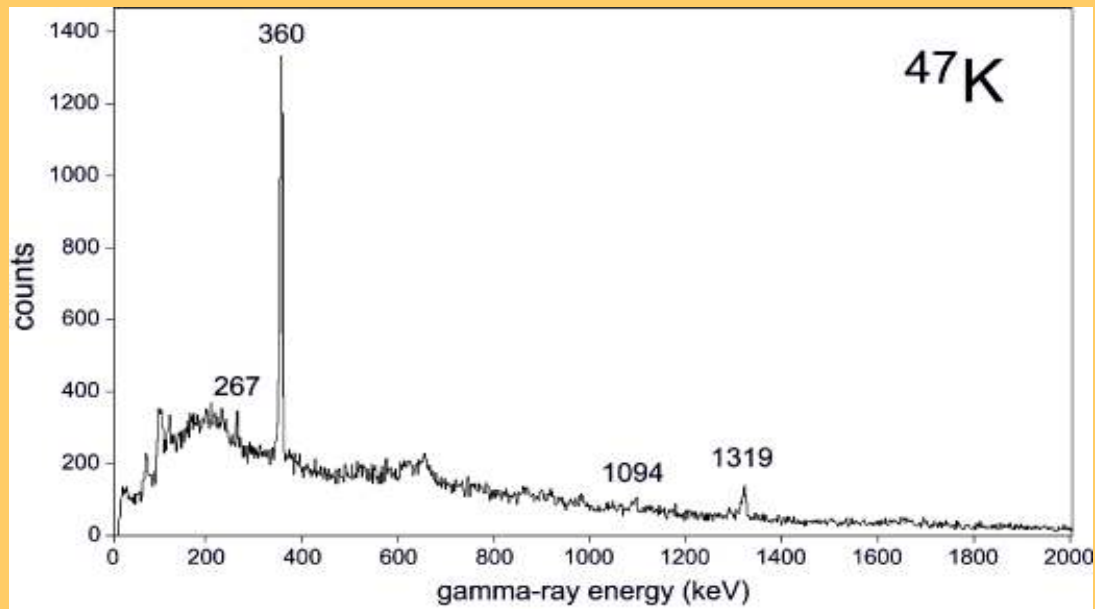




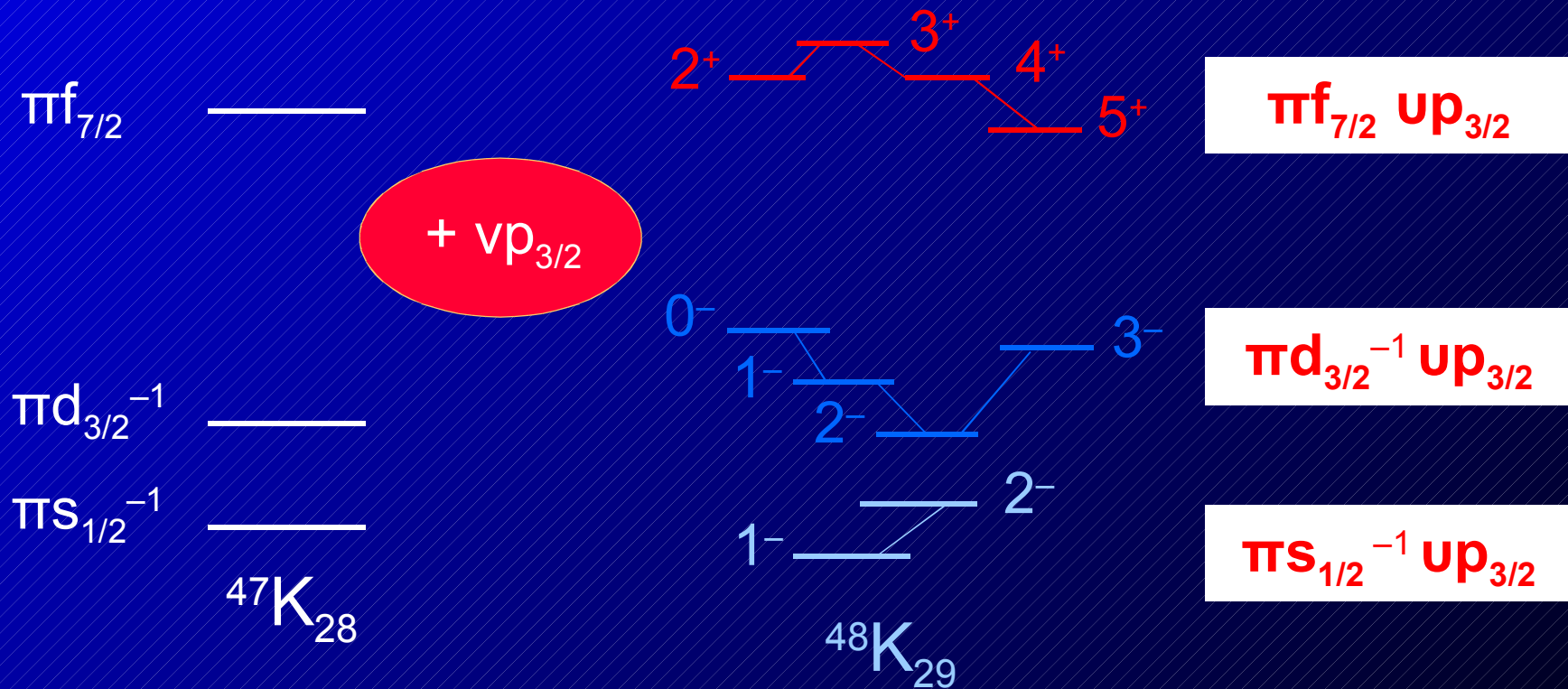
# Evidence of a $7/2^-$ isomer in $^{47}\text{K}$



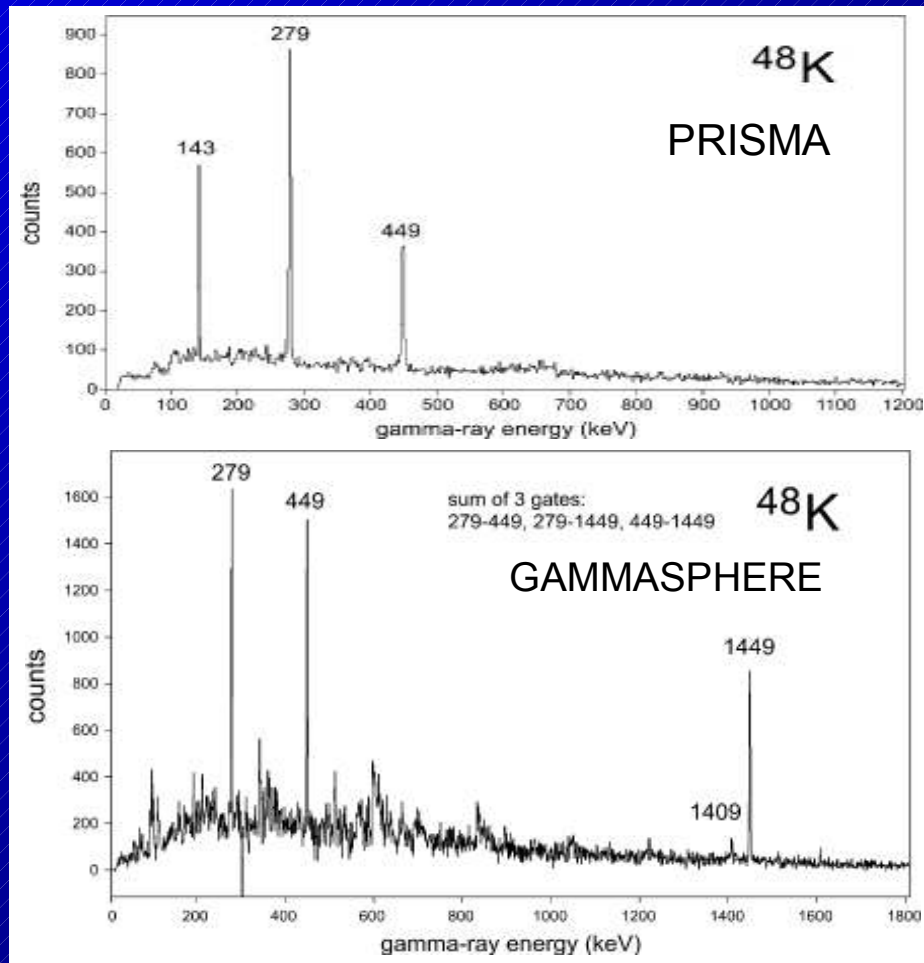
1660 keV line not in prompt gamma spectrum,  
 assigned as an M2 isomeric transition:  $7/2^- \rightarrow 3/2^+$



# Shell model configurations in $^{48}\text{K}$

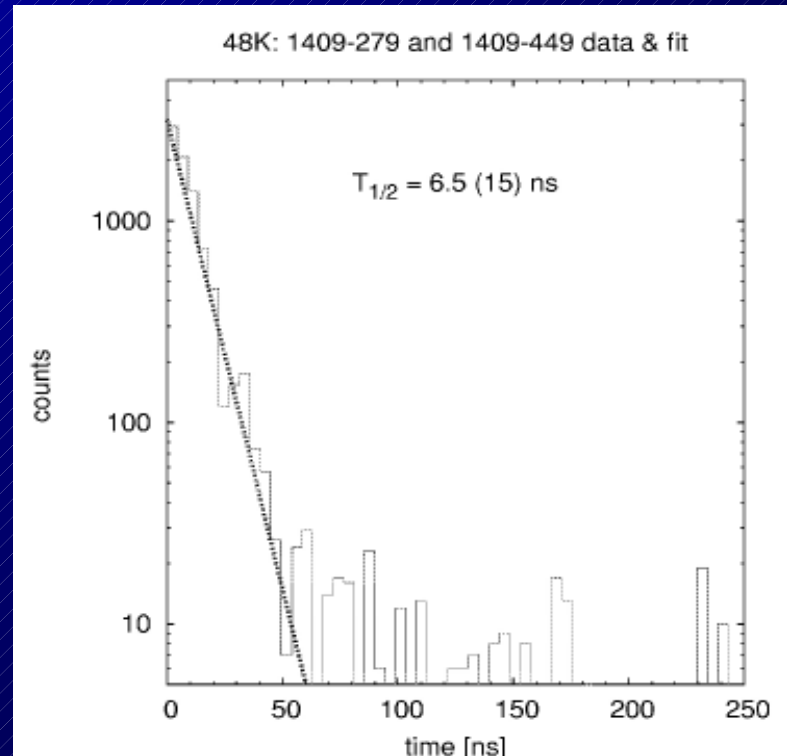
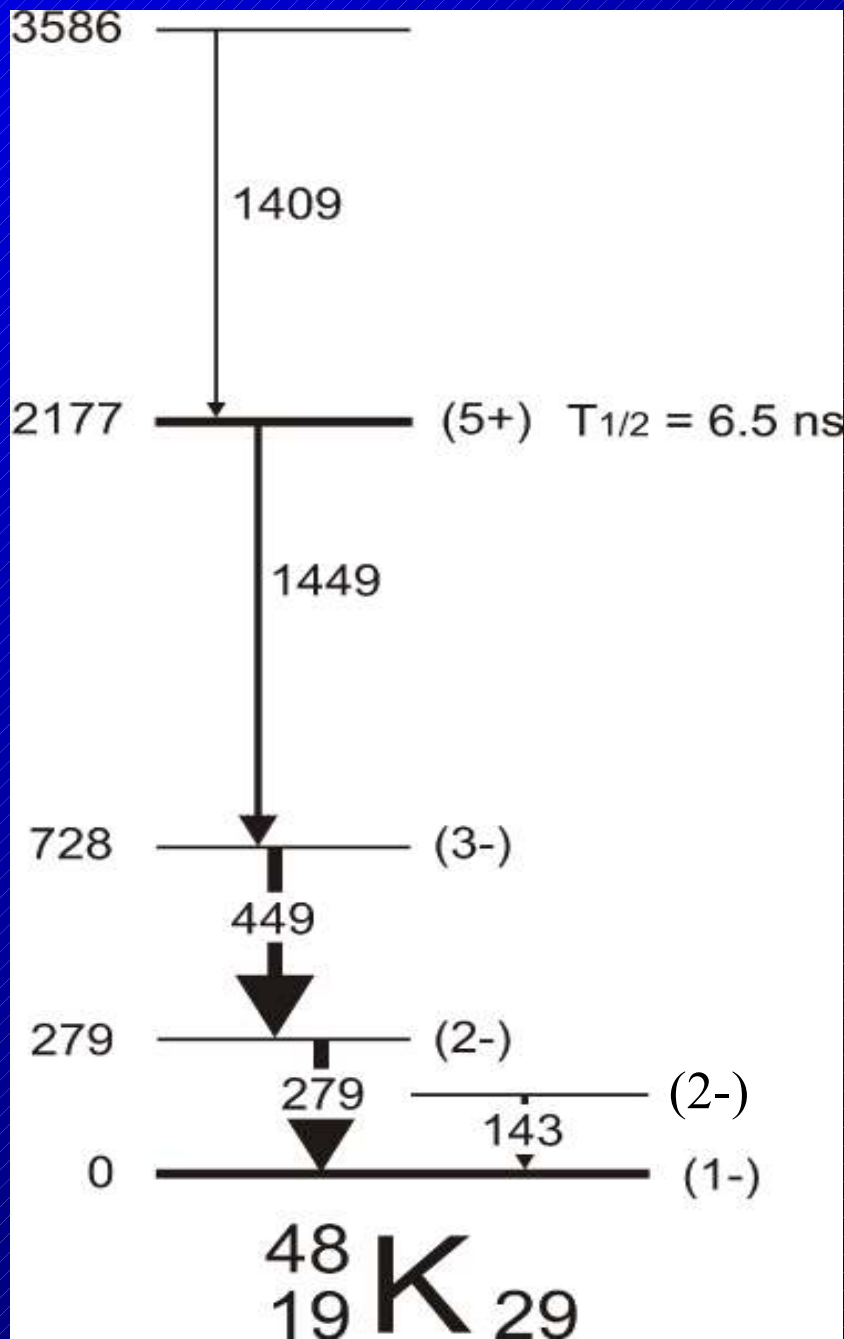


# First experimental identification of excited states in $^{48}\text{K}$



- Identification of  $^{48}\text{K}$  gamma lines from PRISMA
- Level scheme established from GAMMASPHERE coincidence data
- New 6.5 ns isomer placed in  $^{48}\text{K}$



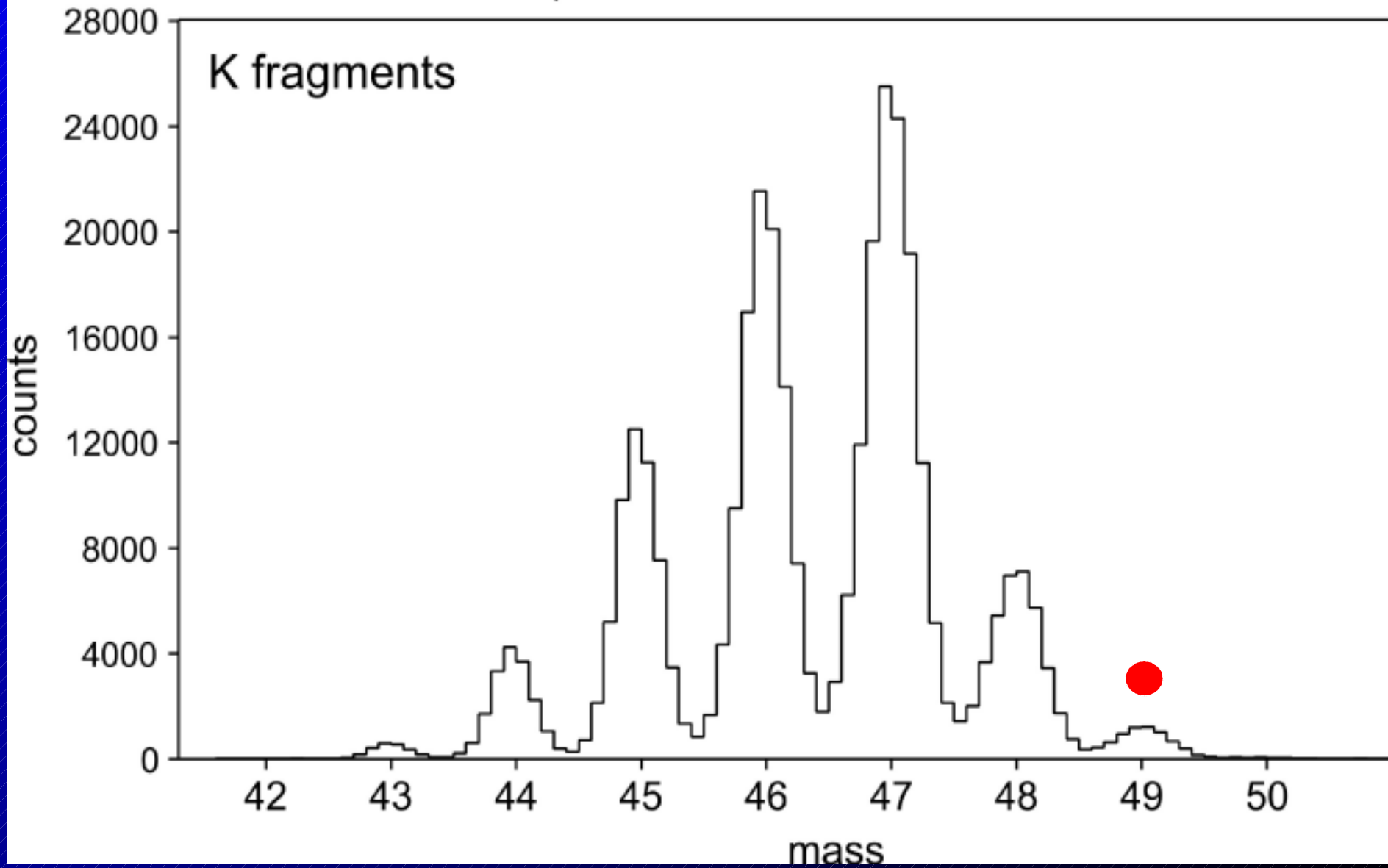


$\pi f_{7/2} \nu p_{3/2} \pi^{-2}$

$\pi d_{3/2} \nu p_{3/2}$

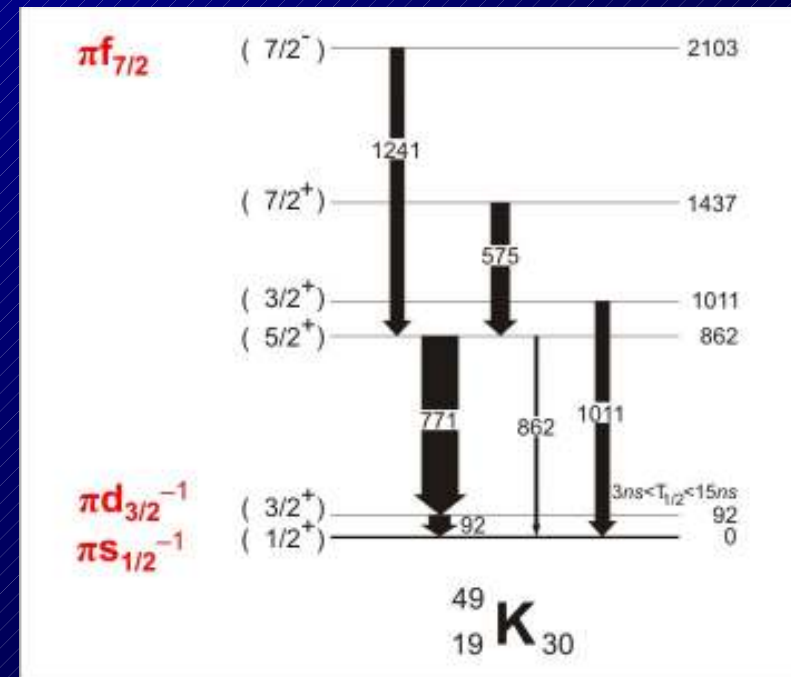
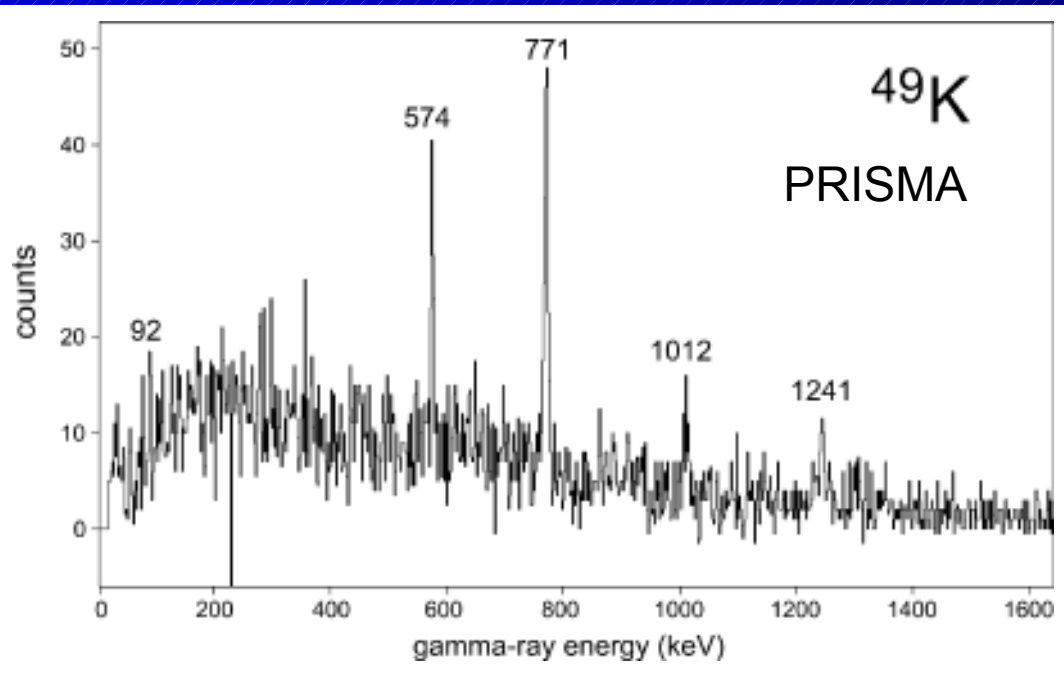
$\pi s_{1/2} \nu p_{3/2}$

PRISMA-CLARA setup,  $^{238}\text{U} + 330 \text{ MeV } ^{48}\text{Ca}$

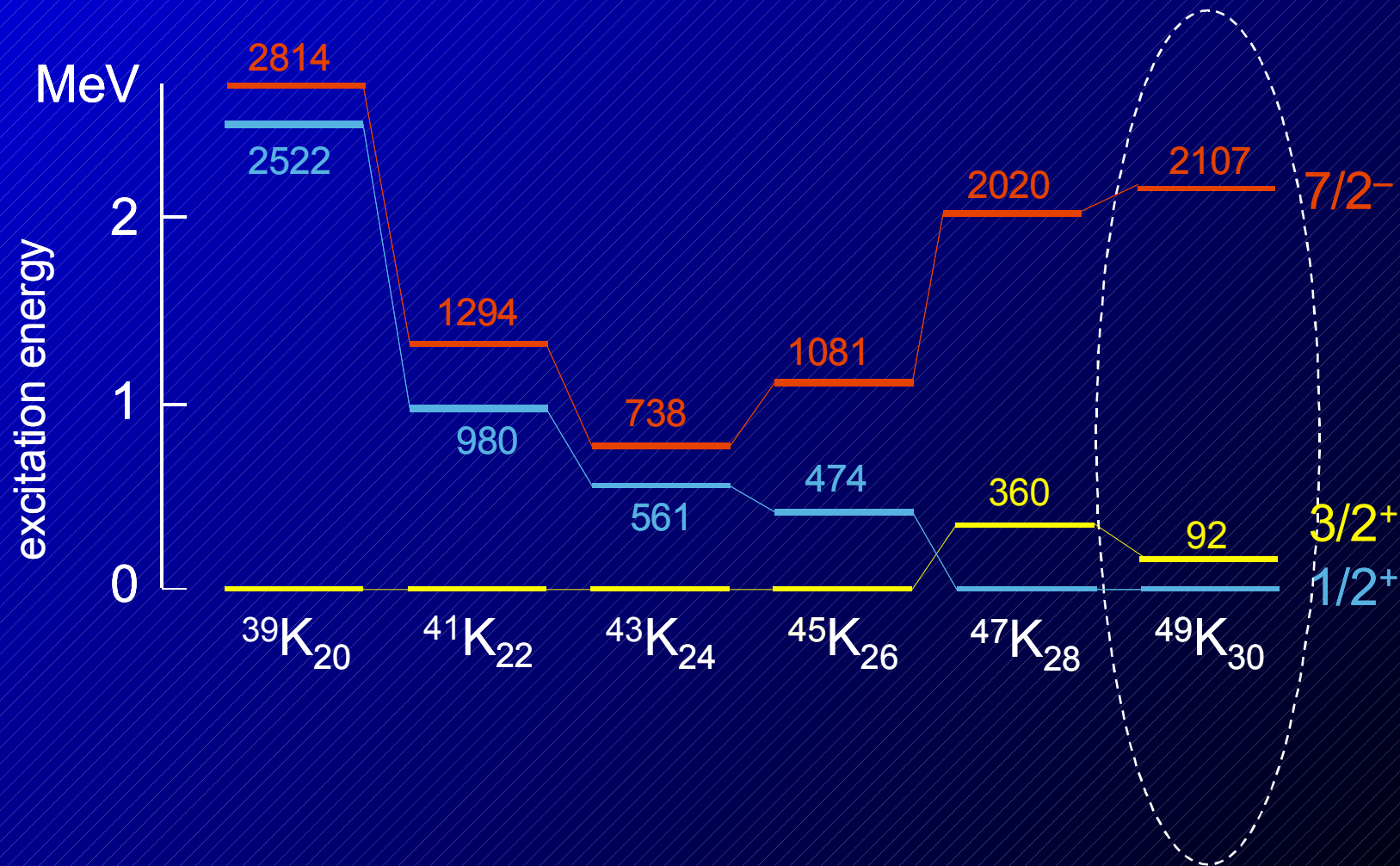


# First observation of excited states in $^{49}\text{K}$

- Gamma lines identified from PRISMA
- Level scheme from coincidence analysis



# Energies of lowest $1/2^+$ , $3/2^+$ and $7/2^-$ states in odd K isotopes



# Kraków group and collaborators

R. Broda, B. Fornal, W. Królas, T. Pawłat, J. Wrzesiński  
*IFJ PAN Kraków*

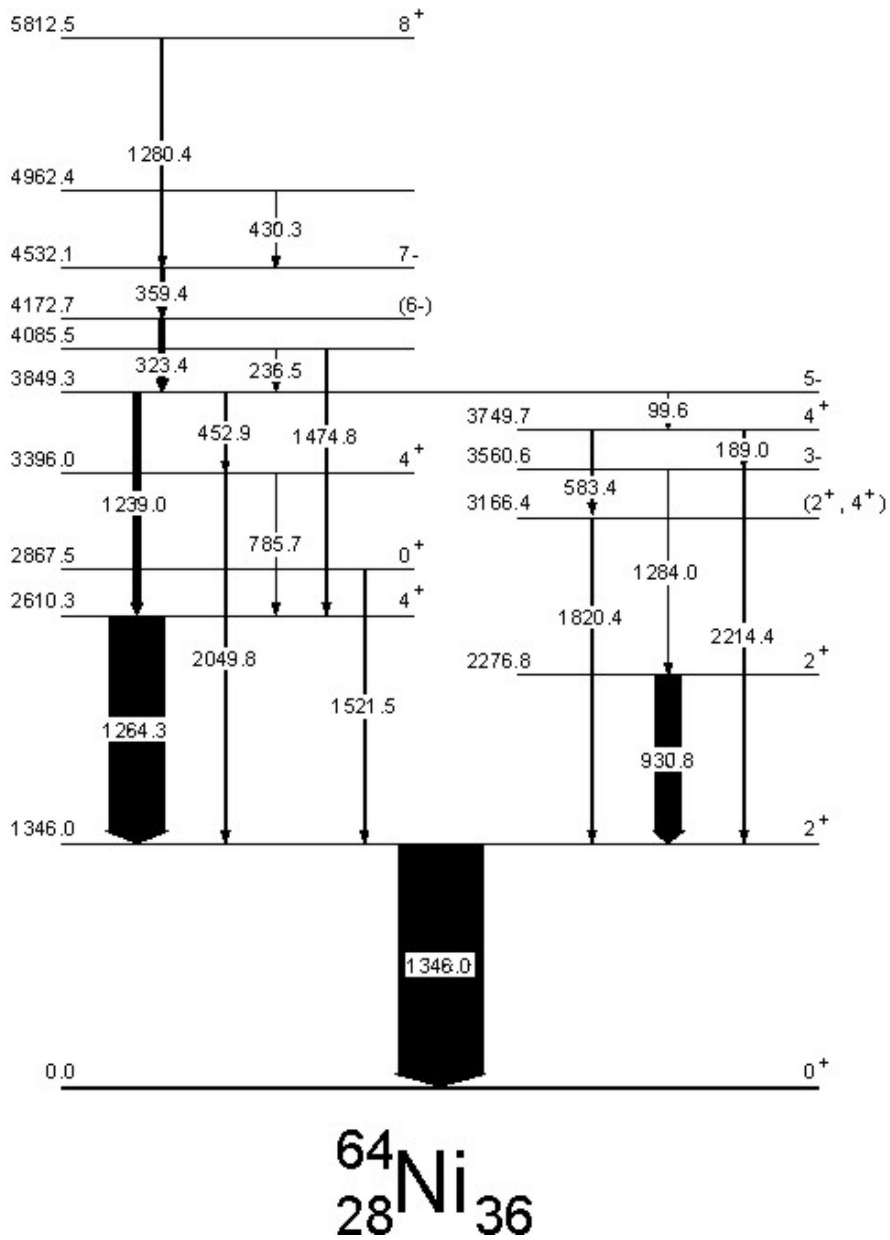
S. Lunardi, A. Gadea, N. Marginean, L. Corradi, A.M. Stefanini,  
F. Scarlassara, G. Montagnoli, M. Trotta, D. Napoli, E. Farnea  
*Laboratori Nazionali di Legnaro and INFN Padova*

R.V.F. Janssens, M.P. Carpenter, T. Lauritsen, D. Seweryniak, S. Zhu  
*Argonne National Laboratory*



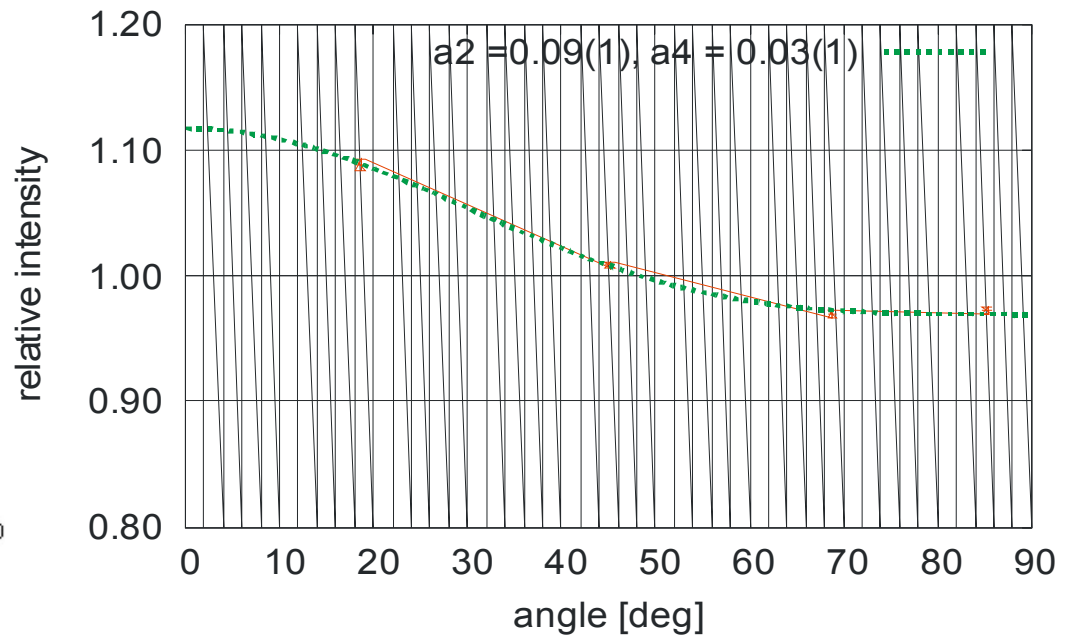
## **Co dalej ?**

- 1. Ciągła analiza danych uzyskanych w eksperymentach**
- 2. Analiza korelacji kątowych gamma-gamma - weryfikacja oznaczeń spinów i parzystości stanów jądrowych**
- 3. Planowane są dalsze eksperymenty z układem CLARA-PRISMA  
Pomiary czasów życia w obszarze pikosekund.**
- 4. Jądra z egzotycznym nadmiarem neutronów produkowane w reakcjach fragmentacji – współpraca z NSCL Michigan State University i Argonne NL (rozpady beta i stany izomeryczne)**
- 5. Współpraca z grupami teoretyków z MSU i z Japonii specjalizującymi się w obliczeniach modelu powłokowego**

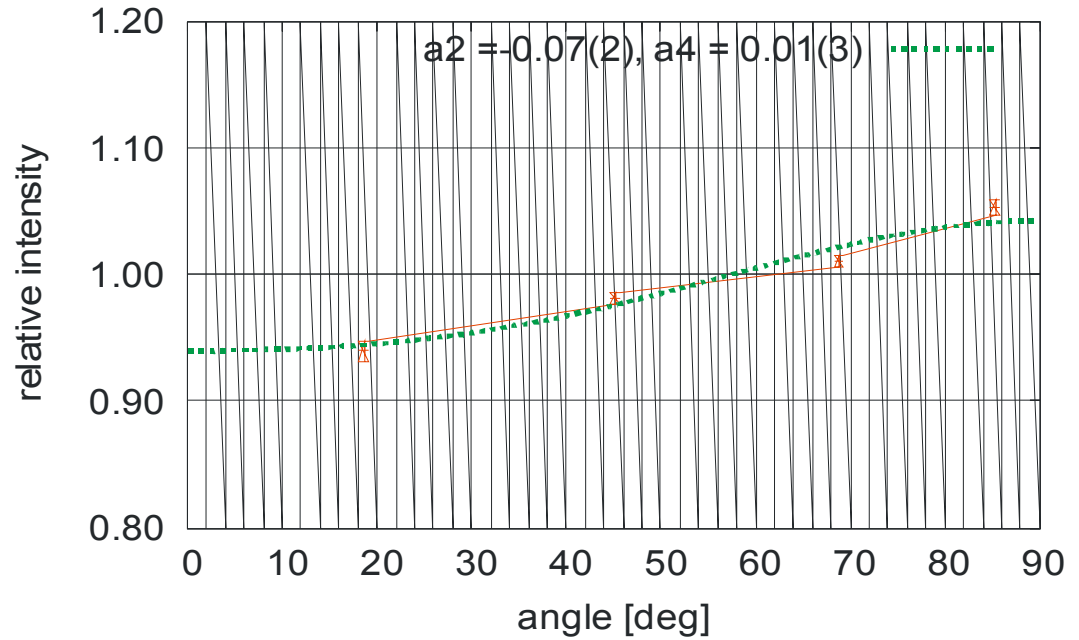


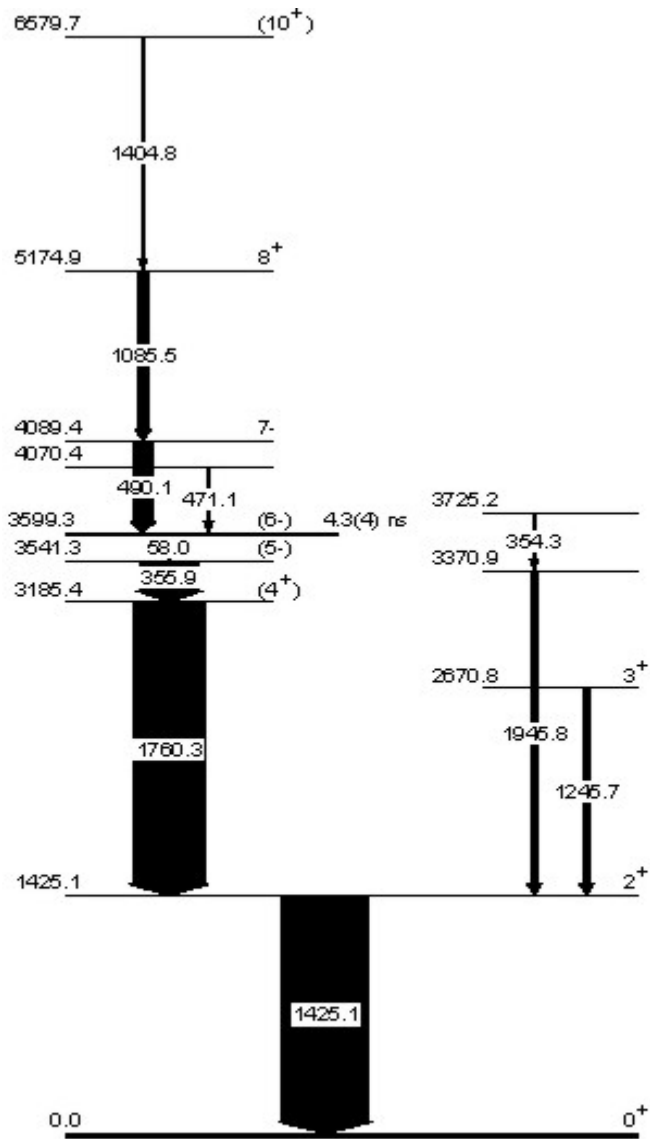
T.Pawlat et al. Nucl.Phys.A574(1994)

$^{64}\text{Ni}$  1264 keV 1346 keV



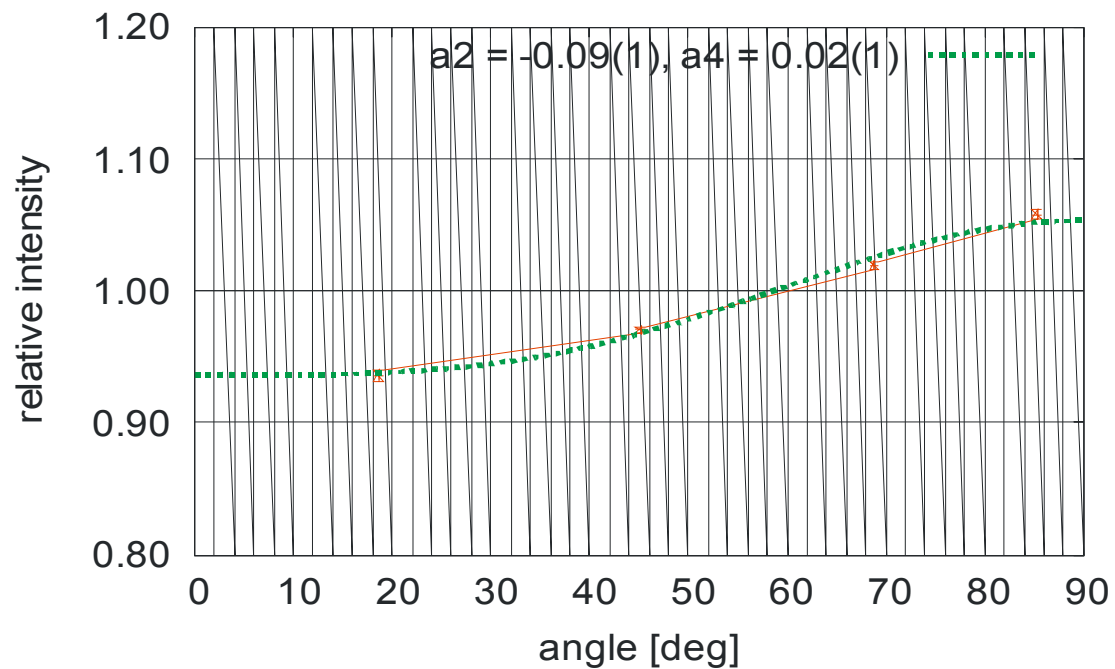
$^{64}\text{Ni}$  1264 keV 1239 keV



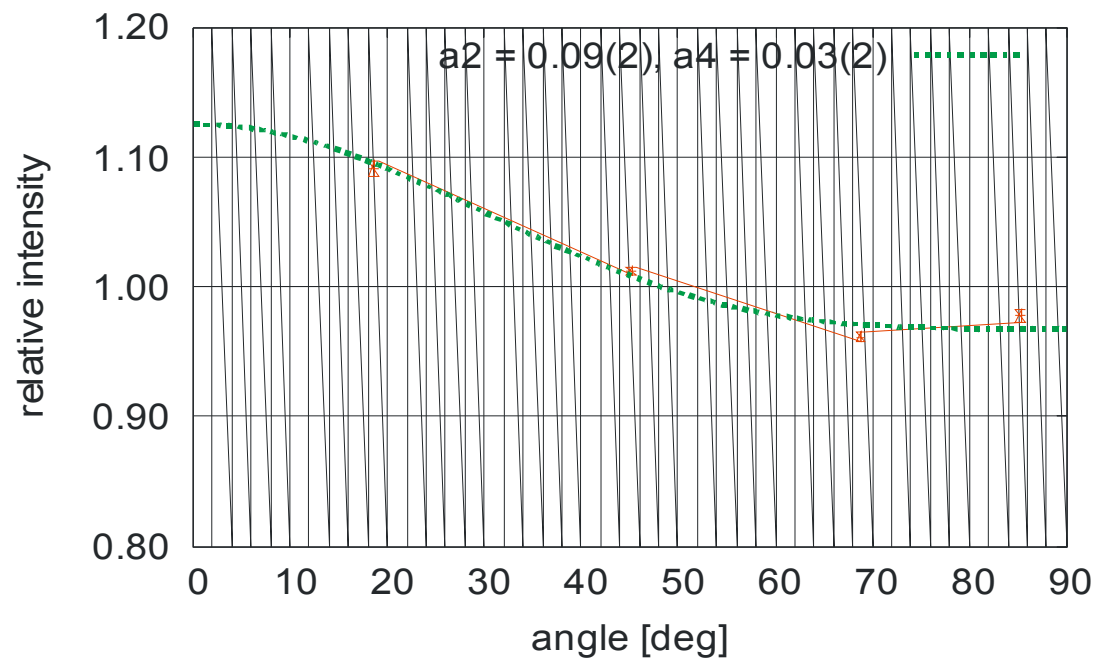


$^{66}_{28}\text{Ni}_{38}$

$^{66}\text{Ni}$  1760 keV 356 keV



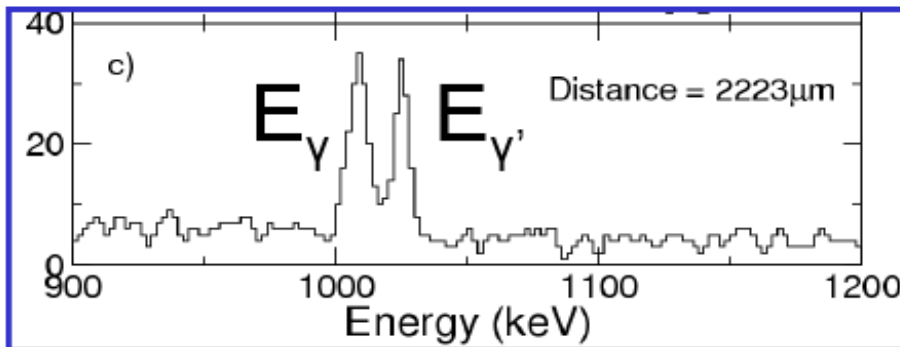
$^{66}\text{Ni}$  1760 keV 1425 keV





Placed at the  $\theta_{\text{grazing}}$  for BLF

**CLARA**



**PRISMA**

$\beta' \approx 8\%$

$E_{\gamma}'$

$E_{\gamma}$

$E_{\gamma}$ : Doppler corrected

$\beta \approx 10\%$

$\text{natMg}$

$^{208}\text{Pb}$

Beam  $^{48}\text{Ca}$

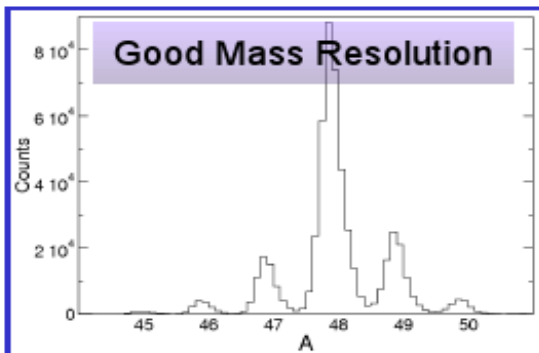
$E_{\text{beam}} = 310 \text{ MeV}$

Degrader

$d$

Target

Multi-nucleon transfer reactions



V47 32.6 m 3/2- EC	V48 15.9735 d 4+ EC	V49 330 d 7/2- EC	V50 1.4E+17 y 6+ EC, $\beta^-$ 0.250	V51 7/2- 99.750	V52 3.743 m 3+ $\beta^-$	V53 1.61 m 7/2- $\beta^-$	V54 49.8 s 3+ $\beta^-$	V55 6.54 s (7/2-) $\beta^-$
Ti46 0+ 8.0	Ti47 5/2- 7.3	Ti48 0+ 73.8	Ti49 7/2- 5.5	Ti50 0+ 5.4	Ti51 5.76 m 3/2- $\beta^-$	Ti52 1.7 m 0+ $\beta^-$	Ti53 32.7 s (3/2-) $\beta^-$	Ti54 0+ $\beta^-$
Sc45 7/2- 100	Sc46 83.79 d 4+ $\beta^-$	Sc47 3.3492 d 7/2- $\beta^-$	Sc48 43.67 h 6+ $\beta^-$	Sc49 57.2 m 7/2- $\beta^-$	Sc50 102.5 s 5+ $\beta^-$	Sc51 12.4 s (7/2-) $\beta^-$	Sc52 8.2 s 3+ $\beta^-$	Sc53 $\beta^-$
Ca44 0+ 2.086	Ca45 162.61 d 7/2- $\beta^-$	Ca46 0+ 0.004	Ca47 4.536 d 7/2- $\beta^-$	Ca48 6E+18 y 0+ $\beta^-$ , $\beta^-$ 0.187	Ca49 8.718 m 3/2- $\beta^-$	Ca50 13.9 s 0+ $\beta^-$	Ca51 10.0 s (3/2-) $\beta^-$	Ca52 4.6 s 0+ $\beta^-$
K43 22.3 h 3/2+ $\beta^-$	K44 22.13 m 2- $\beta^-$	K45 17.3 m 3/2+ $\beta^-$	K46 105 s (2-) $\beta^-$	K47 17.50 s 1/2+ $\beta^-$	K48 6.8 s (2-) $\beta^-$	K49 1.26 s (3/2+) $\beta^-$	K50 472 ms (0-, 1, 2-) $\beta^-$	K51 365 ms (1/2+, 3/2+) $\beta^-$
Ar42 32.9 y 0+ $\beta^-$	Ar43 5.37 m (3/2, 5/2) $\beta^-$	Ar44 11.87 m 0+ $\beta^-$	Ar45 21.48 s 0+ $\beta^-$	Ar46 8.4 s 0+ $\beta^-$	Ar47 700 ms $\beta^-$	Ar48 0+ $\beta^-$	Ar49 $\beta^-$	Ar50 0+ $\beta^-$
Cl41 38.4 s (1/2, 3/2)+ $\beta^-$	Cl42 6.8 s $\beta^-$	Cl43 3.3 s $\beta^-$	Cl44 434 ms $\beta^-$	Cl45 400 ms $\beta^-$	Cl46 223 ms $\beta^-$	Cl47 $\beta^-$	Cl48 $\beta^-$	Cl49 $\beta^-$

**beam: 48Ca @ 310 MeV provided by**

**TANDEM ALPI (1.5 pA current)**

**accelerator complex;**

**target : 1 mg/cm<sup>2</sup> stretched 208Pb (1**

**mg/cm<sup>2</sup> Ta backing) ;**

**degrader : 4 mg/cm<sup>2</sup> natMg;**

**PRISMA(49 grazing**

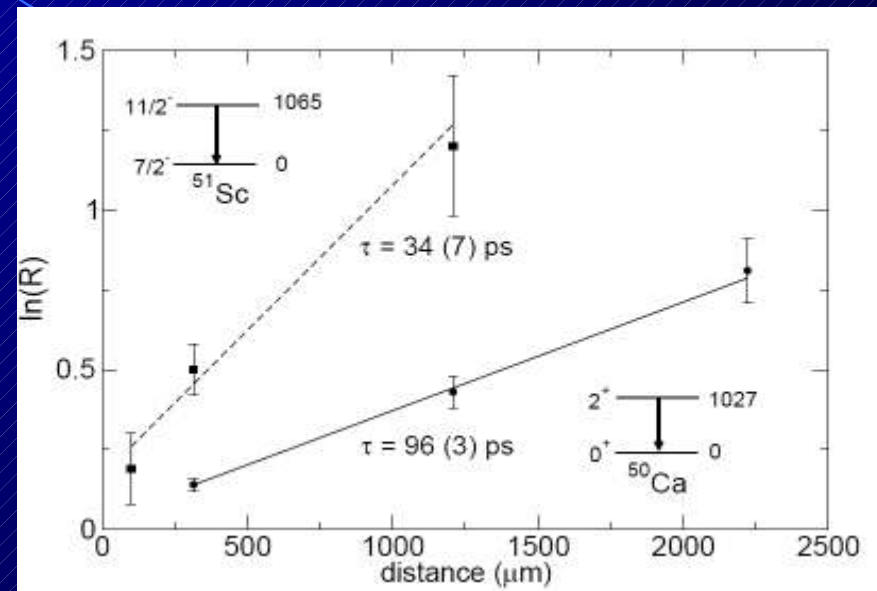
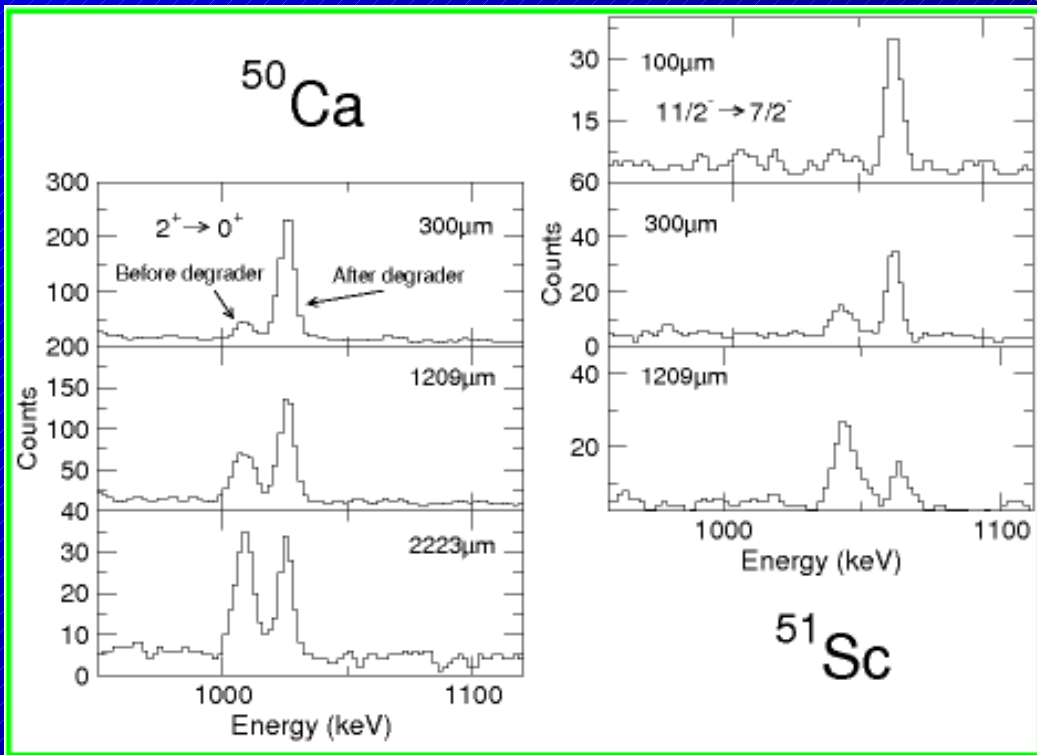
**angle)+CLARA;**

**Distances: 30  $\mu$  m, 100  $\mu$  m, 300  $\mu$  m,**

**1240  $\mu$  m, 2200  $\mu$  m;**

**8-days beam-time.**

J.J.Valiente-Dobon, D.Mengoni et al.



# Kraków group and collaborators

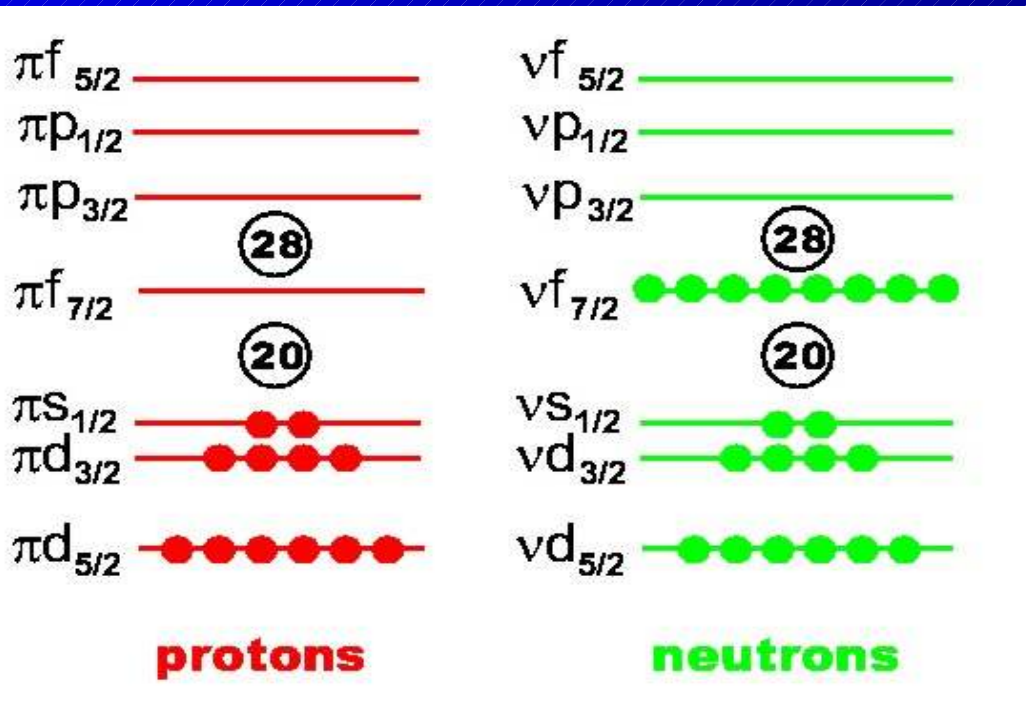
R. Broda, B. Fornal, W. Królas, T. Pawłat, J. Wrzesiński  
*IFJ PAN Kraków*

S. Lunardi, A. Gadea, N. Marginean, L. Corradi, A.M. Stefanini,  
F. Scarlassara, G. Montagnoli, M. Trotta, D. Napoli, E. Farnea  
*Laboratori Nazionali di Legnaro and INFN Padova*

R.V.F. Janssens, M.P. Carpenter, T. Lauritsen, D. Seweryniak, S. Zhu  
*Argonne National Laboratory*



# Shell model



$^{48}\text{Ca}$  doubly closed-shell configuration

- For Potassium ( $Z=19$ ):  
a proton-hole, nearest shells are  $\pi s_{1/2}$ ,  $\pi d_{3/2}$   
and  $\pi d_{5/2}$
- For neutron-rich ( $N > 28$ ):  
neutrons in  $\nu p_{3/2}$ ,  $\nu p_{1/2}$  and/or  
 $\nu f_{5/2}$  shells